

Geometric Deep Learning

Michael Bronstein

Oxford, Hilary 2024



Autonomous driving



Generative art



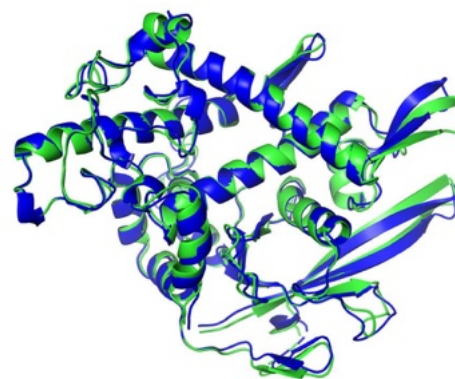
Robotics



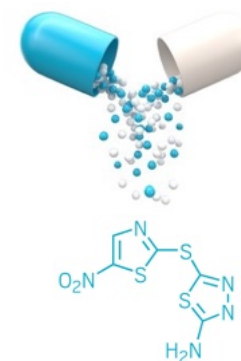
Language processing



Speech recognition



Protein folding



Drug discovery

“[ML] is the new electricity”

—Andrew Ng (2017)

“There’s a self-congratulatory feeling in the air. We say things like ‘machine learning is the *new electricity*.’ I’d like to offer an alternative metaphor: machine learning has become *alchemy*.”

—Ali Rahimi at NIPS 2017



Image: Byron Eggenschwiler

Fundamental principles underlying deep learning architectures

“The knowledge of certain principles easily
compensates the lack of knowledge of certain facts”

—Claude Adrien Helvétius

Symmetry

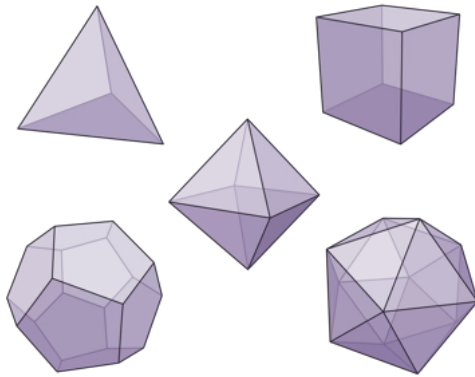
“Symmetry, as wide or as narrow as you may define its meaning, is one idea by which man through the ages has tried to comprehend and create order, beauty, and perfection”



H. Weyl

ON THE SHOULDERS OF GIANTS

συμμετρία

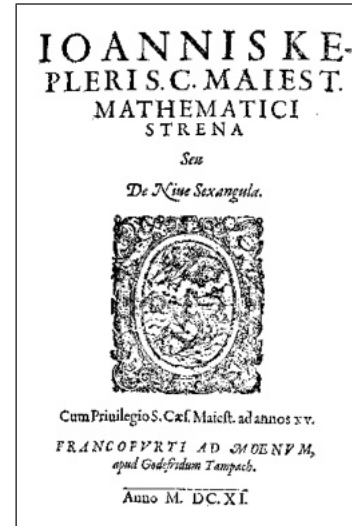


Platonic solids

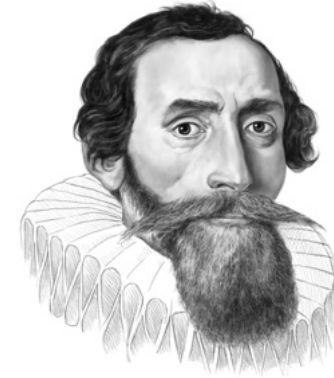


Plato

~370 BC



"On the six-cornered snowflake"



J. Kepler

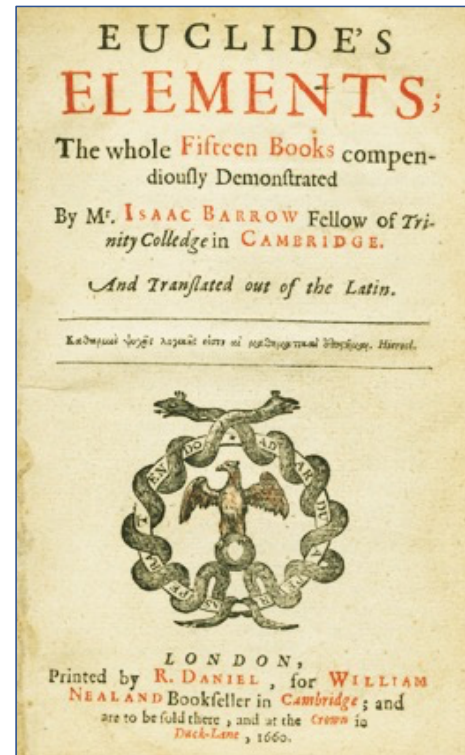
1611



Marina Viazovska
2022 Fields Medal
8-dimensional sphere packing

Euclidean geometry

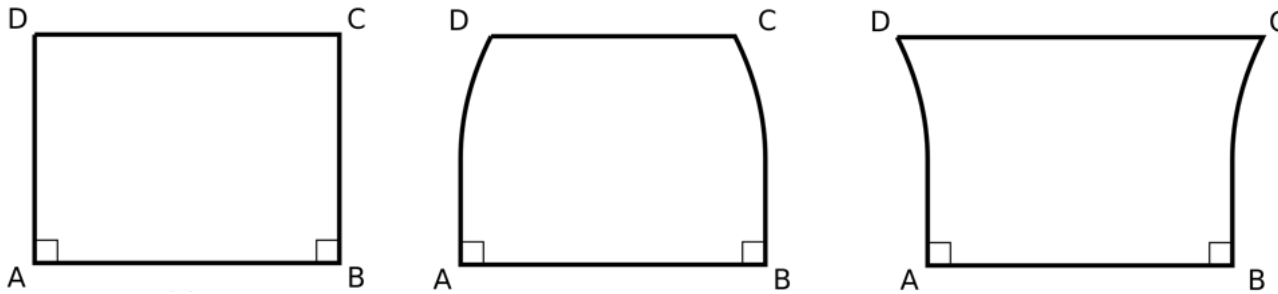
Fifth Postulate: “In a plane, given a line and a point not on it, at most one line parallel to the given line can be drawn through the point”



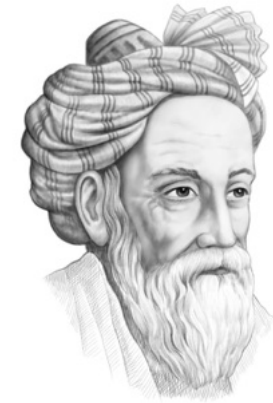
Euclid

~300 BC

Early attempts



Khayyam-Saccheri quadrilateral



Omar Khayyam

“Three cases of angles in a quadrilateral: Fifth Postulate follows from the right-angle assumption”

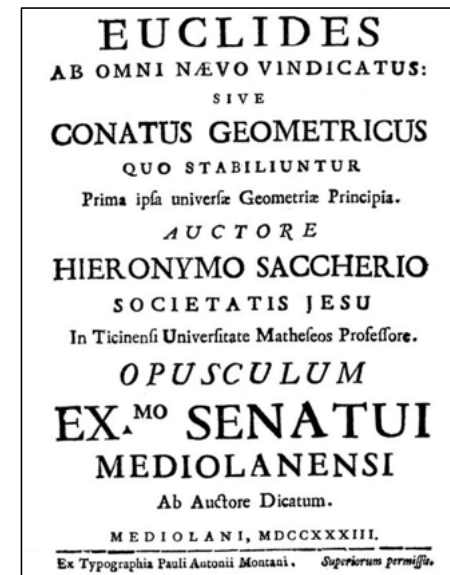
1077

Early attempts

Et hujus quidem (post multa, ne dicam omnia, conditionatè expensa) absolutam falsitatem in XXXIII. tandem ostendo, quia repugnantis naturæ lineæ rectæ, circa quam multa ibi interfero necessaria Lemmata. Tandem verò in præcedente Propositione absolutè demonstro sibi ipsi repugnantem hypothesin anguli acuti .

“repugnant to the nature of straight lines”

— Giovanni Saccheri



1736

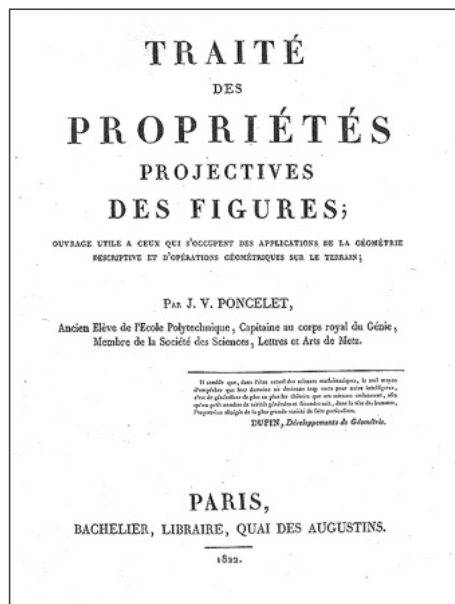
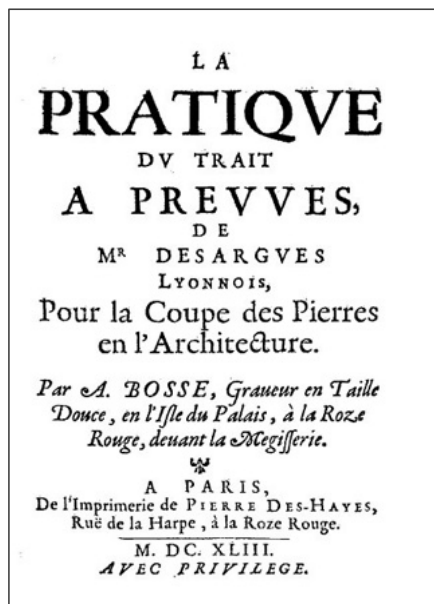


Projective Geometry



G. Desargues

1643



J. V. Poncelet

1822

“Projective geometry”

“Non-Euclidean Geometry”

“I have discovered such wonderful things that I was amazed... out of nothing I have created a strange new world.”

— János Bolyai to his father



J. Bolyai

1823

Bolyai’s 1823 letter to his father

“Non-Euclidean Geometry”

“To praise it would amount to praising myself. For the entire content of the work...coincides almost exactly with my own meditations [in the] past thirty or thirty-five years.”

— Gauss to Farkas Bolyai



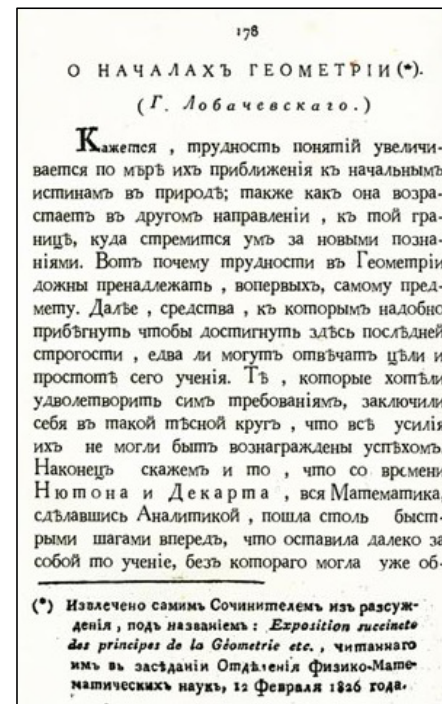
C. F. Gauss

~1800

“Non-Euclidean Geometry”

“In geometry I find certain imperfections which I hold to be the reason why this science [...] can as yet make no advance from that state in which it came to us from Euclid. I consider [...] the momentous gap in the theory of parallels, to fill which all efforts of mathematicians have so far been in vain.”

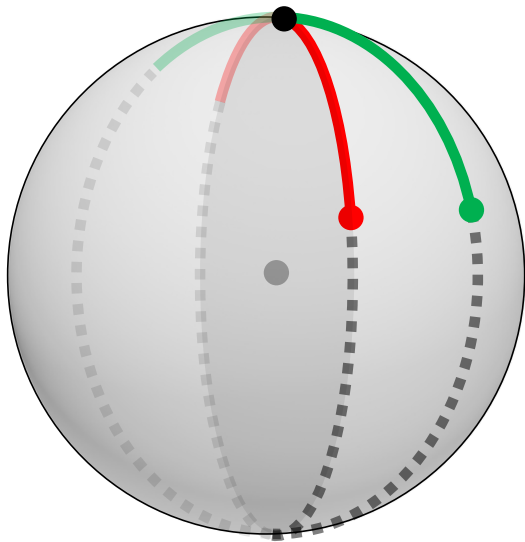
Lobachevsky (1826) 1829



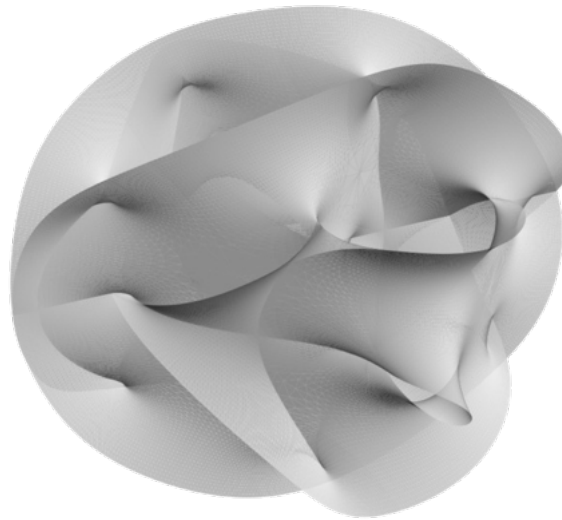
N. Lobachevsky

1829

“Non-Euclidean Geometry”



Constant-curvature spherical geometry



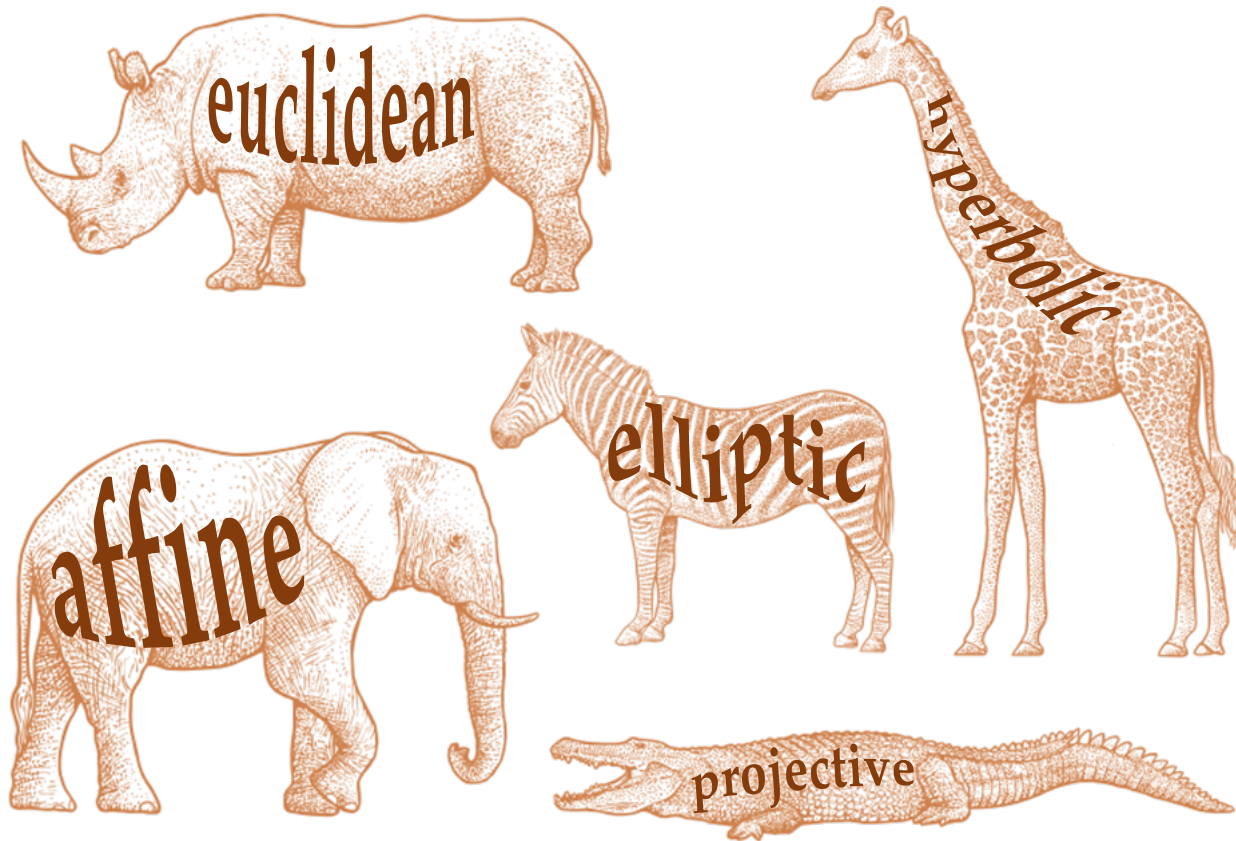
Variable-curvature Riemannian geometry on manifolds (“*Mannigfaltigkeit*”)



B. Riemann

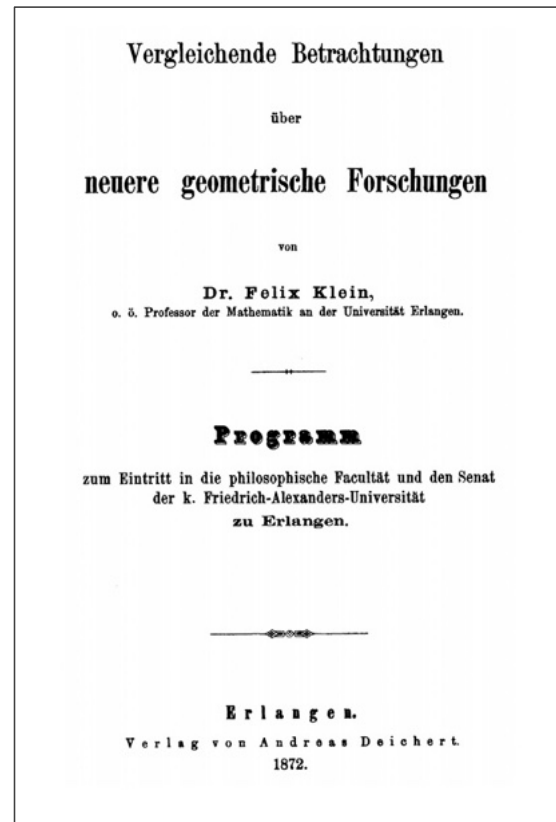
1856

19th Century Zoo of Geometries



The Erlangen Programme

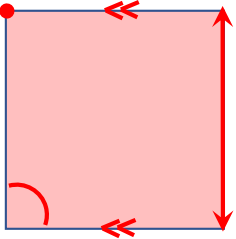
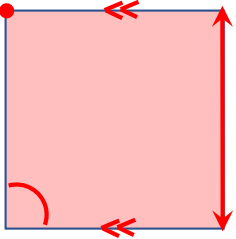
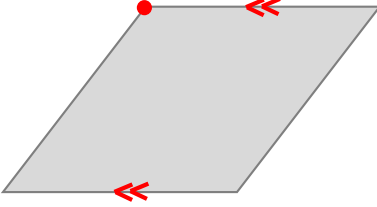
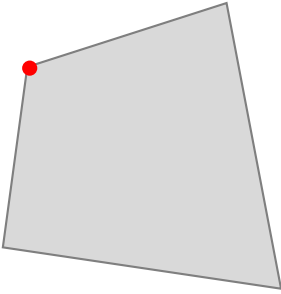
“Given a [homogeneous] manifold and a transformation group acting [transitively] on it, to investigate those properties of figures on that manifold which are invariant under transformations of that group”



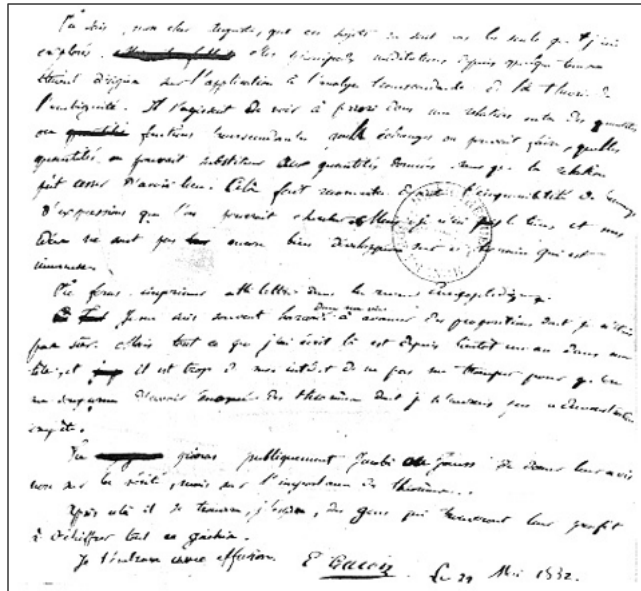
F. Klein

1872

The Erlangen Programme

	Euclidean	Affine	Projective
			
<i>angle</i>	+	-	-
<i>distance</i>	+	-	-
<i>area</i>	+	-	-
<i>parallelism</i>	+	+	-
<i>intersection</i>	+	+	+

Group Theory



The image shows a page of handwritten text in French, which is Galois' last letter. The handwriting is cursive and somewhat faded. The text discusses mathematical concepts related to group theory and the solvability of equations. At the bottom of the page, there is a signature and the date: "Je t'embrasse avec affection. E. Galois. Le 30 Mai 1832."



E. Galois



S. Lie

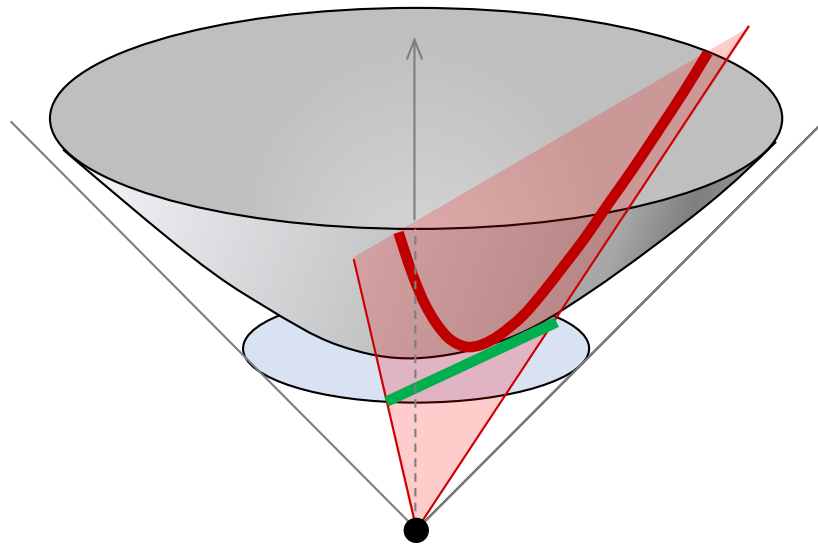


F. Klein

1832

Mon cher ami — Galois' last letter
written on the night before his duel

Hyperbolic geometry



Beltrami-Klein projective model of hyperbolic geometry

Beltrami 1868; Klein 1871



E. Beltrami

1868



F. Klein

1871

sogenannte nicht-Euklidische Geometrie

Beyond Erlangen Programme



E. Cartan

=



B. Riemann

+



F. Klein

Category Theory

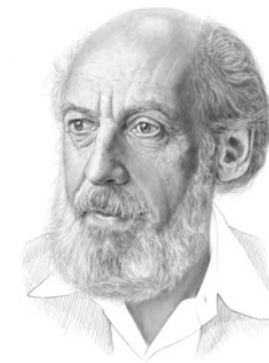
“...a continuation of the Klein Erlangen Programme, in the sense that a geometrical space with its group of transformations is generalized to a category with its algebra of mappings”

GENERAL THEORY OF NATURAL EQUIVALENCES
BY
SAMUEL EILENBERG AND SAUNDERS MACLANE

CONTENTS

	Page
Introduction	231
I. Categories and functors	237
1. Definition of categories	237
2. Examples of categories	239
3. Functors in two arguments	241
4. Examples of functors	242
5. Slicing of functors	245
6. Foundations	246
II. Natural equivalence of functors	248
7. Transformations of functors	248
8. Categories of functors	250
9. Composition of functors	250
10. Examples of transformations	251
11. Groups as categories	256
12. Construction of functors by transformations	257
13. Combination of the arguments of functors	258
III. Functors and groups	260
14. Subfunctors	260
15. Quotient functors	262
16. Examples of subfunctors	263
17. The isomorphism theorems	265
18. Direct products of functors	267
19. Characters	270
IV. Partially ordered sets and projective limits	272
20. Quasi-ordered sets	272
21. Direct systems as functors	273
22. Inverse systems as functors	276
23. The categories \mathfrak{Dir} and \mathfrak{Inv}	277
24. The lifting principle	280
25. Functors which commute with limits	281
V. Applications to topology	283
26. Complexes	283
27. Homology and cohomology groups	284
28. Duality	287
29. Universal coefficient theorems	288
30. Čech homology groups	290
31. Miscellaneous remarks	292
Appendix. Representations of categories	292

Introduction. The subject matter of this paper is best explained by an example, such as that of the relation between a vector space L and its "dual"
Presented to the Society, September 8, 1942; received by the editors May 15, 1945.



S. Eilenberg



S. Mac Lane

1945

Noether's Theorem

“Every [differentiable] symmetry of the action of a physical system [with conservative forces] has a corresponding conservation law”

Noether 1918

Invariante Variationsprobleme.
(F. Klein zum fünfzigjährigen Doktorjubiläum.)
Von
Emmy Noether in Göttingen.
Vorgelegt von F. Klein in der Sitzung vom 26. Juli 1918¹⁾.

Es handelt sich um Variationsprobleme, die eine kontinuierliche Gruppe (im Lieschen Sinne) gestatten; die daraus sich ergebenden Folgerungen für die zugehörigen Differentialgleichungen finden ihren allgemeinsten Ausdruck in den in § 1 formulierten, in den folgenden Paragraphen bewiesenen Sätzen. Über diese aus Variationsproblemen entspringenden Differentialgleichungen lassen sich viel präzisere Aussagen machen als über beliebige, eine Gruppe gestattende Differentialgleichungen, die den Gegenstand der Lieschen Untersuchungen bilden. Das folgende beruht also auf einer Verbindung der Methoden der formalen Variationsrechnung mit denen der Lieschen Gruppentheorie. Für spezielle Gruppen und Variationsprobleme ist diese Verbindung der Methoden nicht neu; ich erwähne Hamel und Herglotz für spezielle endliche, Lorentz und seine Schüler (z. B. Fokker), Weyl und Klein für spezielle unendliche Gruppen²⁾. Insbesondere sind die zweite Kleinsche Note und die vorliegenden Ausführungen gegenseitig durch einander beein-

1) Die endgiltige Fassung des Manuskriptes wurde erst Ende September eingereicht.
2) Hamel: Math. Ann. Bd. 59 und Zeitschrift f. Math. u. Phys. Bd. 50. Herglotz: Ann. d. Phys. (4) Bd. 36, bes. § 9, S. 511. Fokker, Verslag d. Amsterdamer Akad., 27./1. 1917. Für die weitere Litteratur vergl. die zweite Note von Klein: Göttinger Nachrichten 19. Juli 1918.
In einer eben erschienenen Arbeit von Kneser (Math. Zeitschrift Bd. 2) handelt es sich um Aufstellung von Invarianten nach ähnlicher Methode.
Egl. Ges. d. Wiss. Nachrichten, Math.-phys. Klasse, 1918, Heft 2. 17

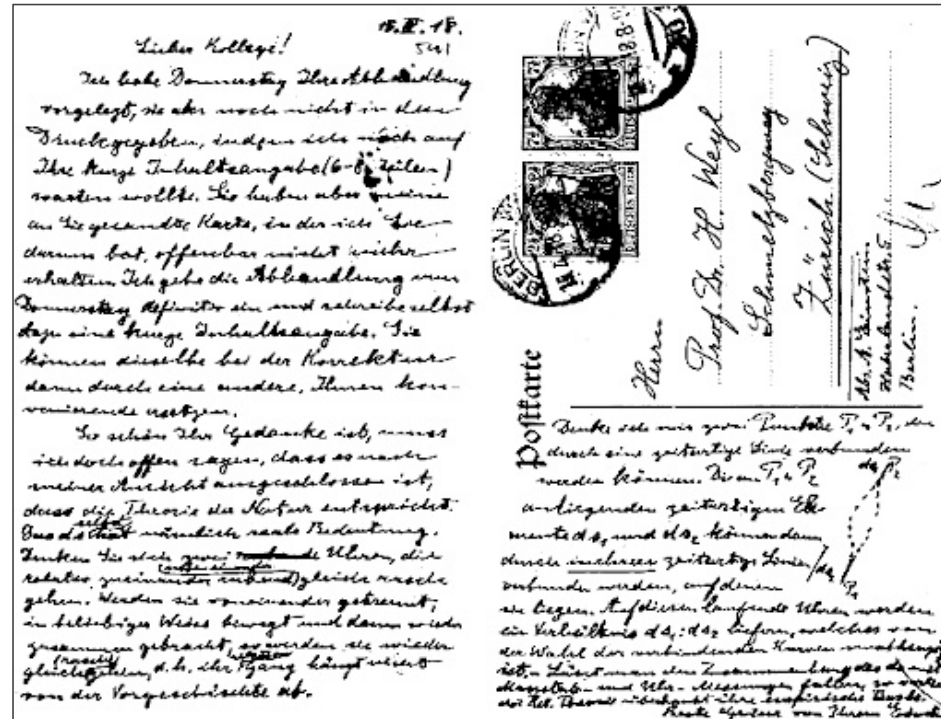


E. Noether

1918

Gauge invariance

Lieber Kollege! —
 Postcard dated 15 April
 1918 from Einstein to
 Weyl arguing with his
 initially proposed
 gauge theory

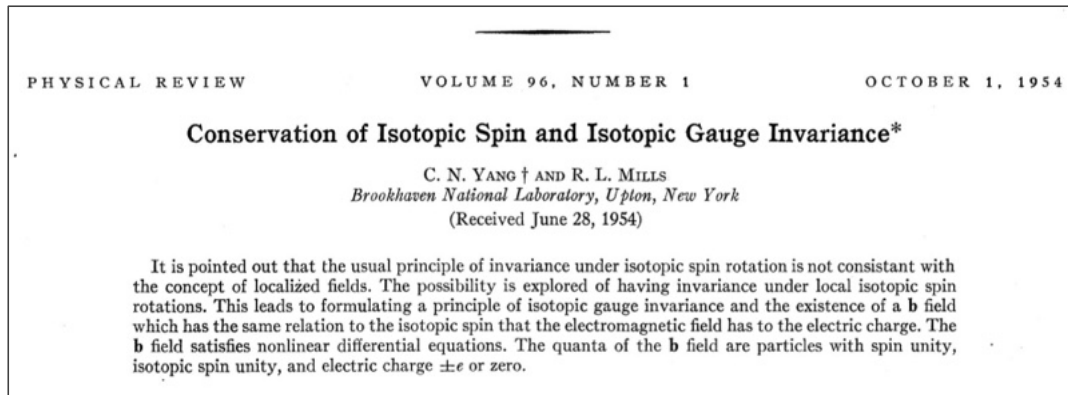


H. Weyl

1929

Weyl 1919; 1929 (see Straumann 1987)

Unification of forces



Unification of electromagnetic and weak forces (modelled with the groups $U(1) \times SU(2)$) and the strong force (based on the group $SU(3)$)

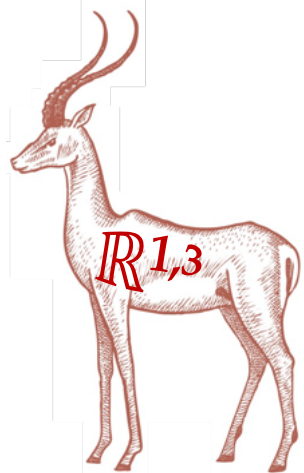


C. N. Yang

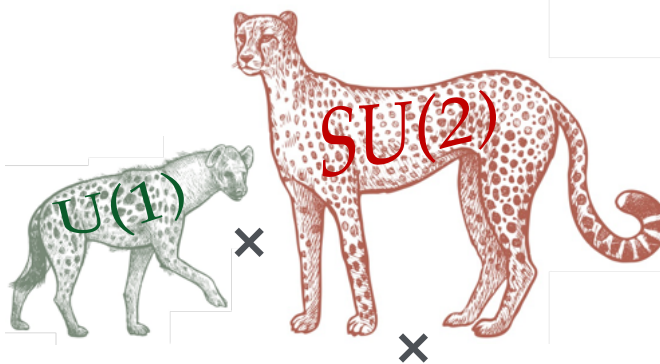


R. L. Mills

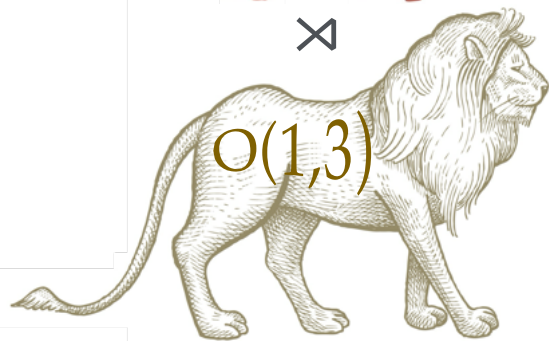
1954



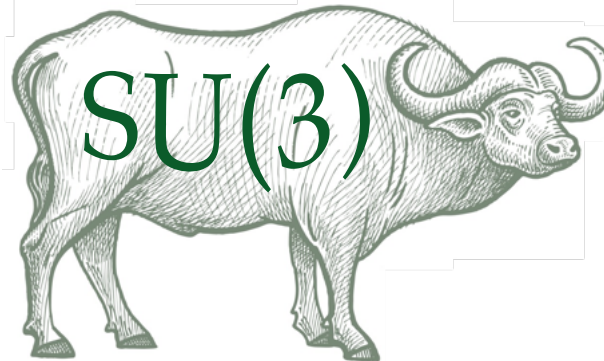
H. Poincaré



C. N. Yang



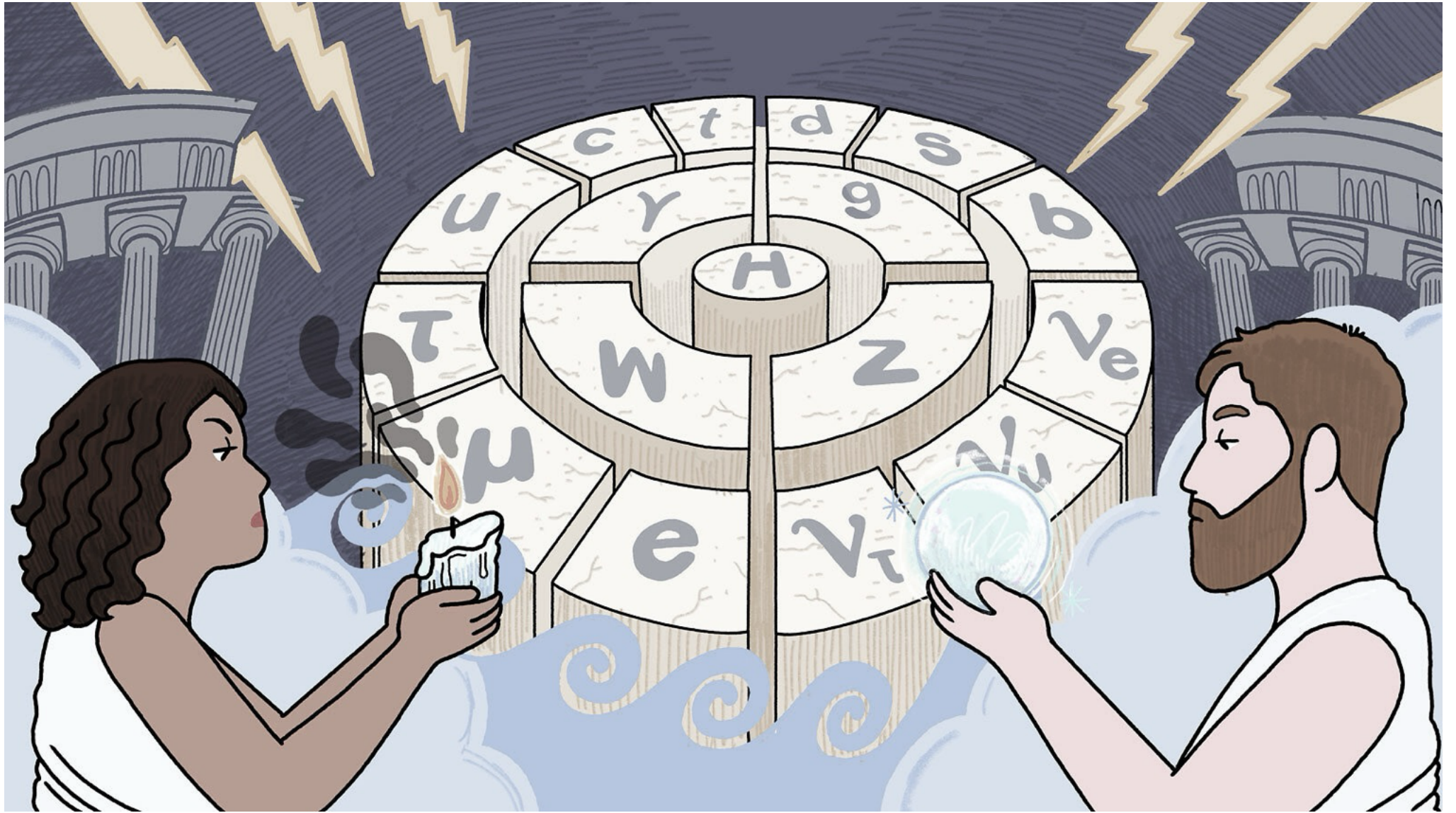
H. Minkowski



R. L. Mills

External symmetry

Internal symmetry



“It is only slightly overstating the case to say that
Physics is the study of symmetry”

— “More is different”, Science 1972



P. Anderson

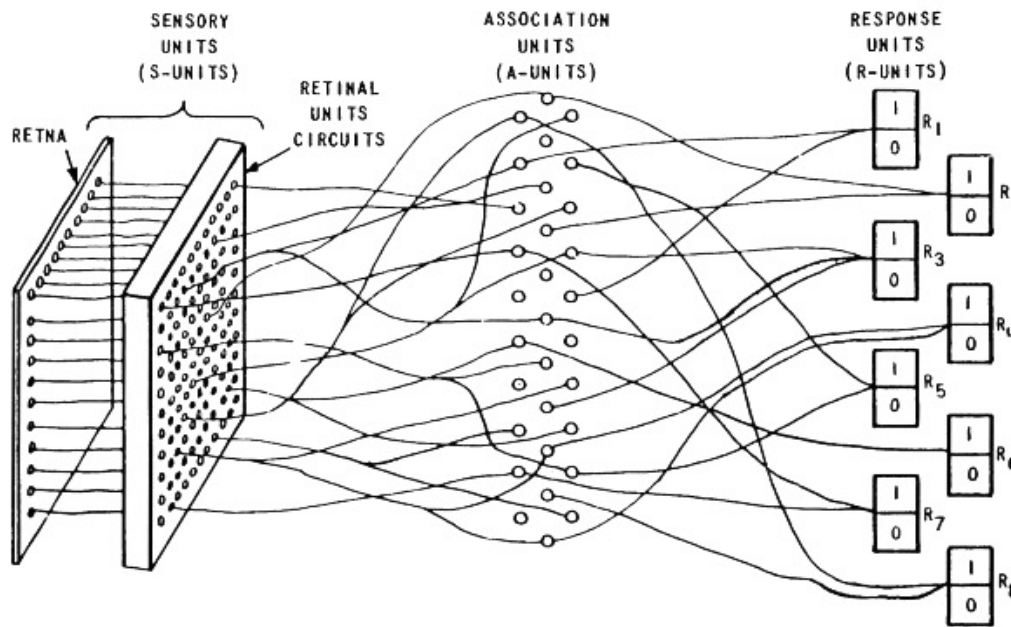
?

EARLY NEURAL NETWORKS & THE AI WINTER



Dartmouth AI Conference 1956

Early neural networks



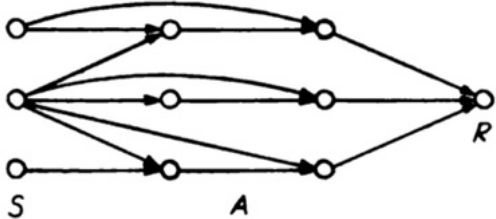
Perceptron, one of the first neural network architectures



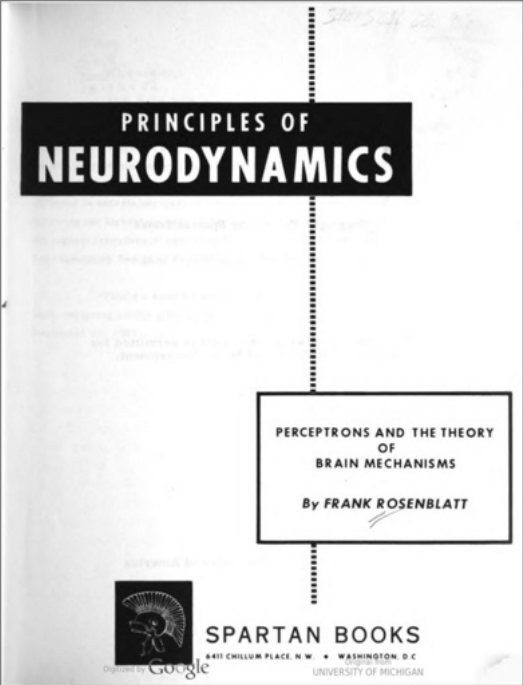
F. Rosenblatt

1957

Early neural networks



Early skip connections



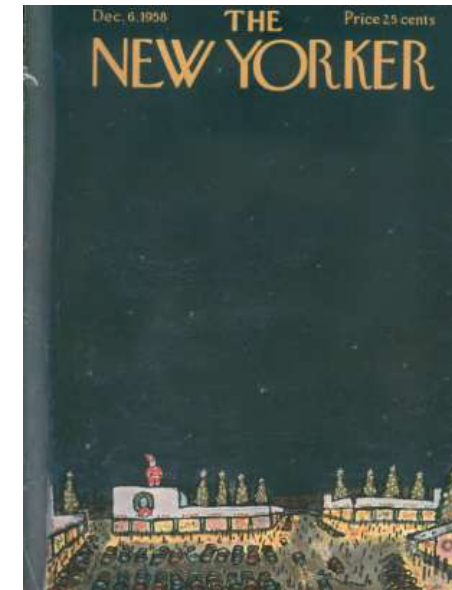
F. Rosenblatt

Early hype

“First serious rival to the human brain even devised.”

“Remarkable machine capable of what amounts to thought”

— The New Yorker



1958

Early hype

MASSACHUSETTS INSTITUTE OF TECHNOLOGY
PROJECT MAC

Artificial Intelligence Group
Vision Memo. No. 100.

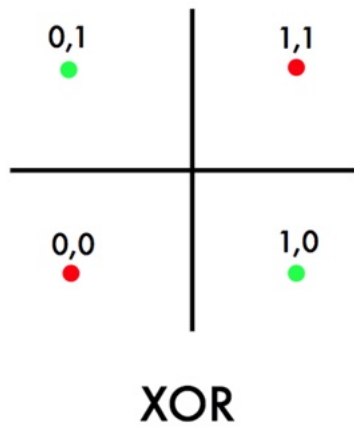
July 7, 1966

THE SUMMER VISION PROJECT

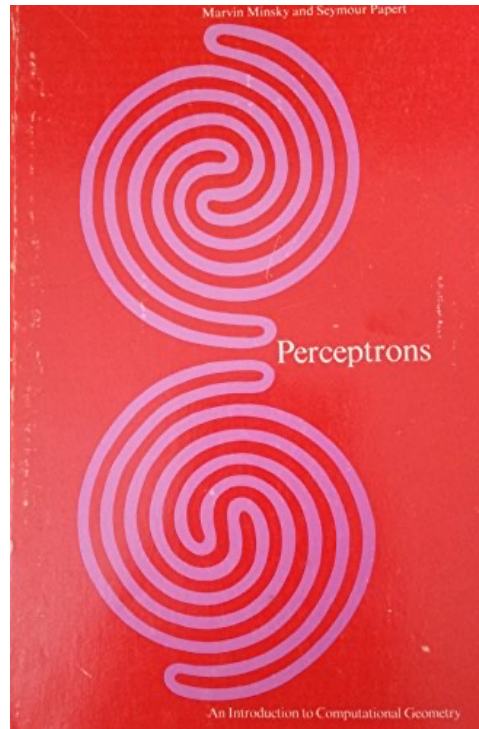
Seymour Papert

The summer vision project is an attempt to use our summer workers effectively in the construction of a significant part of a visual system. The particular task was chosen partly because it can be segmented into sub-problems which will allow individuals to work independently and yet participate in the construction of a system complex enough to be a real landmark in the development of "pattern recognition".

The "XOR Affair"



“[simple] perceptron cannot represent even the XOR function”



M. Minsky



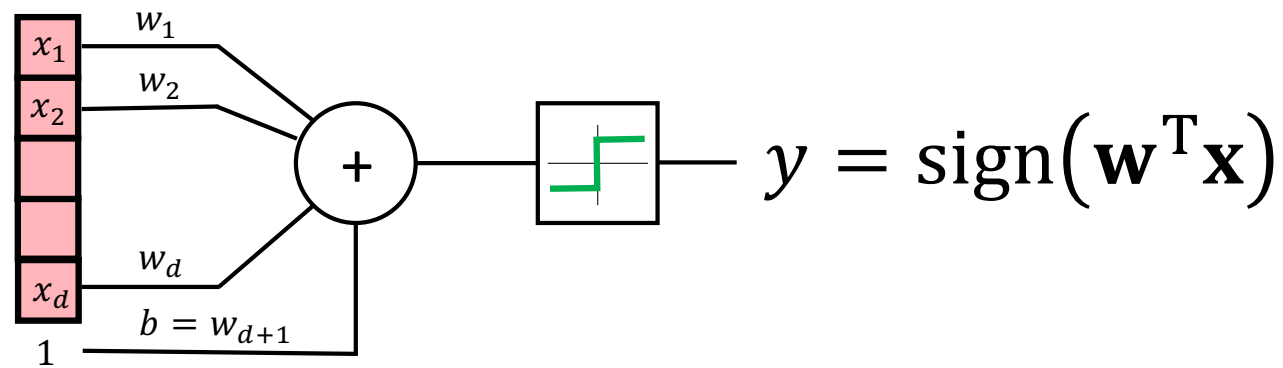
S. Papert

1969



“AI WINTER”

“Simple perceptron”



First “geometric” machine learning

Group Invariance Theorem: “if a neural network is invariant to a group, then its output can be expressed as functions of the orbits of the group”



M. Minsky



S. Papert

1969

Universal approximation



D. Hilbert

13th Problem



A. Kolmogorov



V. Arnold



G. Cybenko

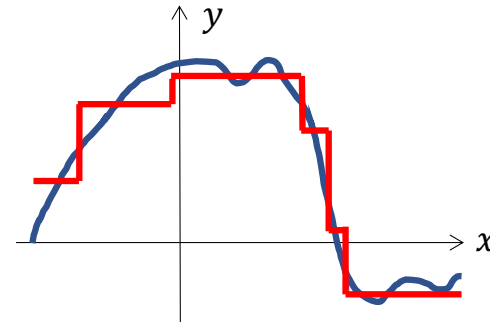
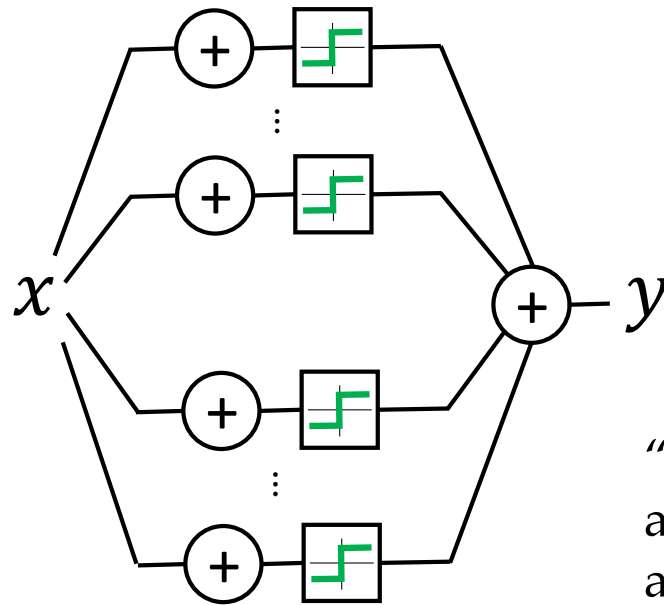


K. Hornik

$$f(x_1, \dots, x_n) = \sum_{q=0}^{2n} \Phi_q \left(\sum_{p=1}^n \phi_{q,p}(x_p) \right)$$

“Modern” results specific to
multilayer neural networks

Universal approximation

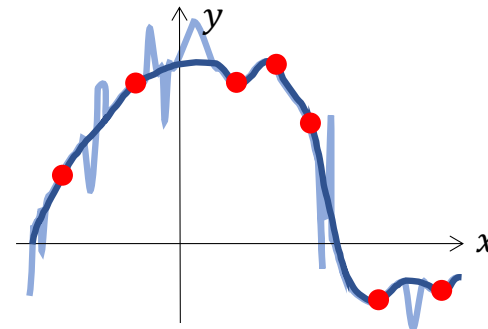
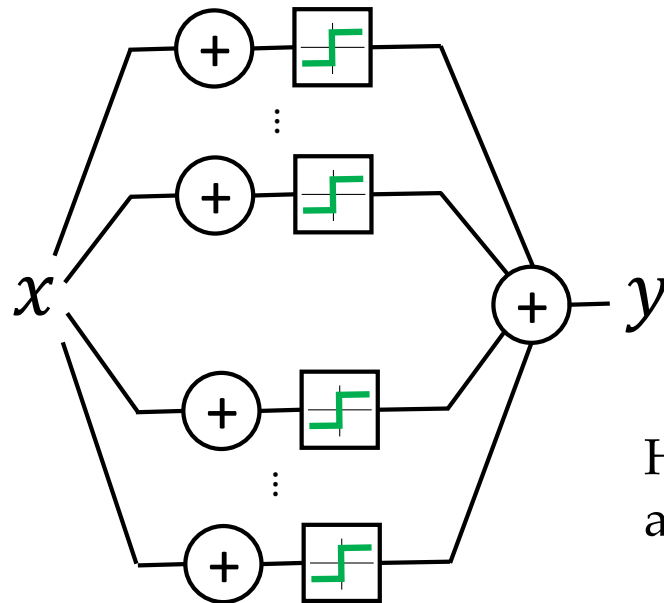


“A 2-layer perceptron can approximate a continuous function to any desired accuracy”

Deep learning = glorified curve fitting

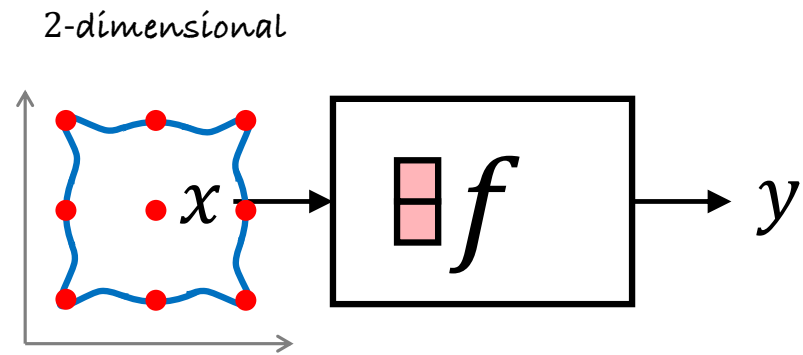


Universal approximation

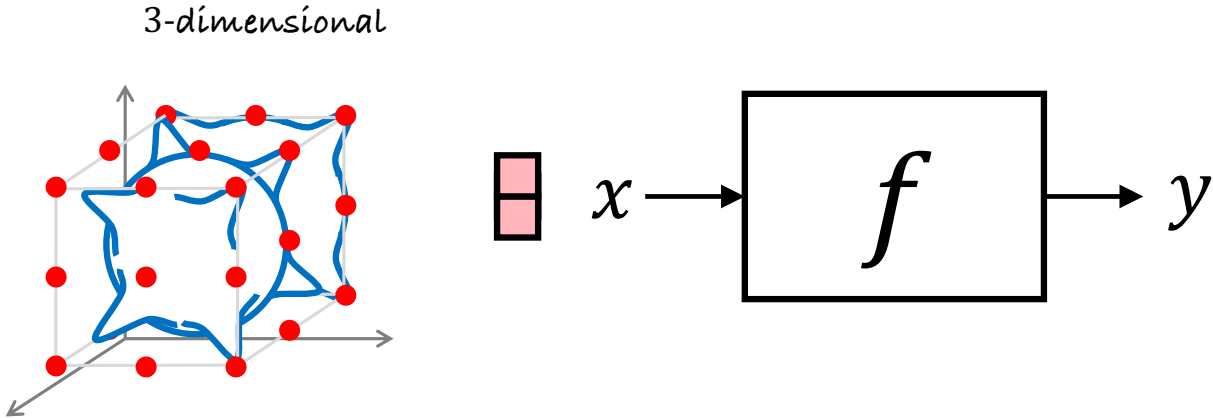


How many samples are needed to approximate to accuracy ε ?

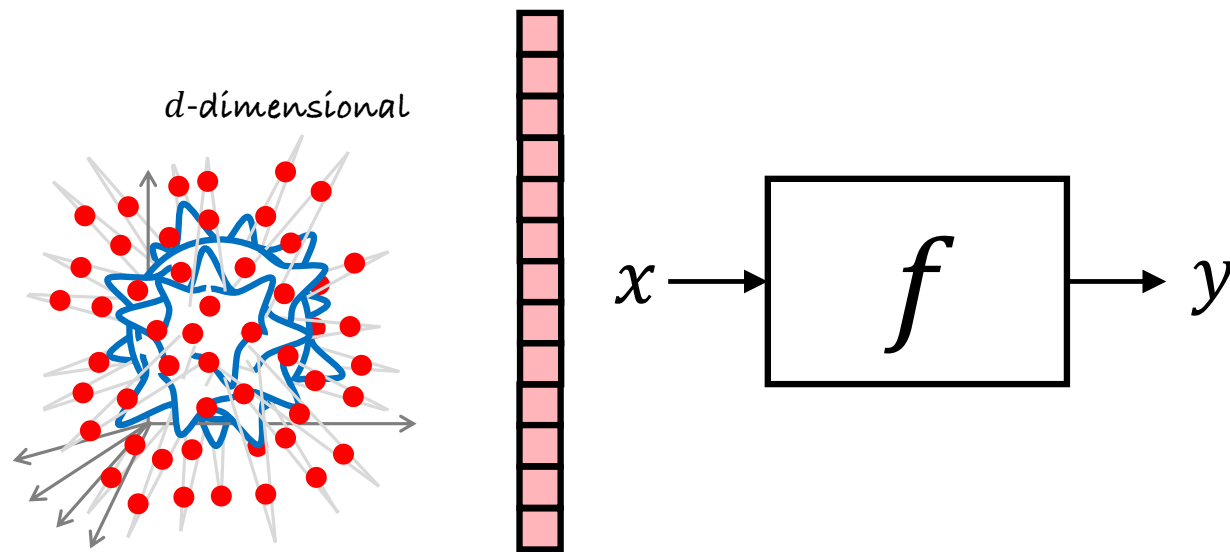
The Curse of Dimensionality



The Curse of Dimensionality



The Curse of Dimensionality



$O(\varepsilon^{-d})$ samples



The Lighthill Report

“Most workers in AI research and in related fields confess to a pronounced feeling of **disappointment in what has been achieved in the past twenty-five years**. [...] In no part of the field have the discoveries made so far produced the major impact that was then promised.”

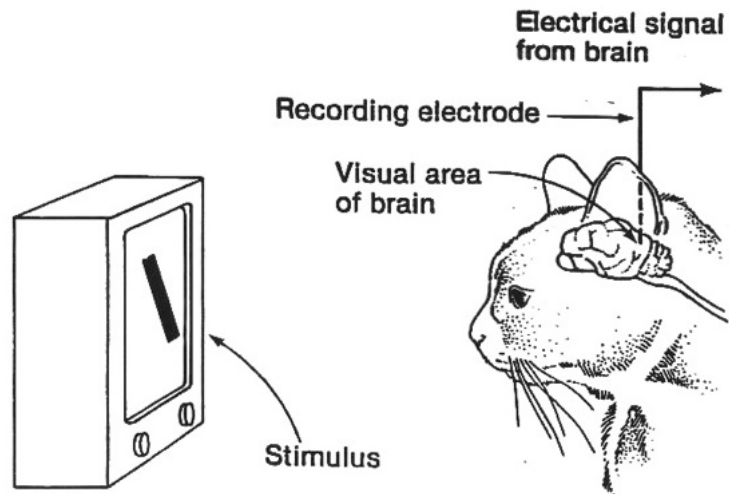


J. Lighthill

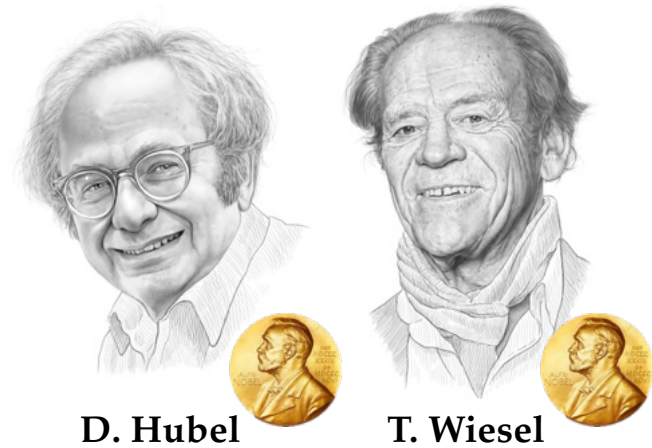
1972

THE EMERGENCE OF GEOMETRIC ARCHITECTURES

Secrets of the visual cortex

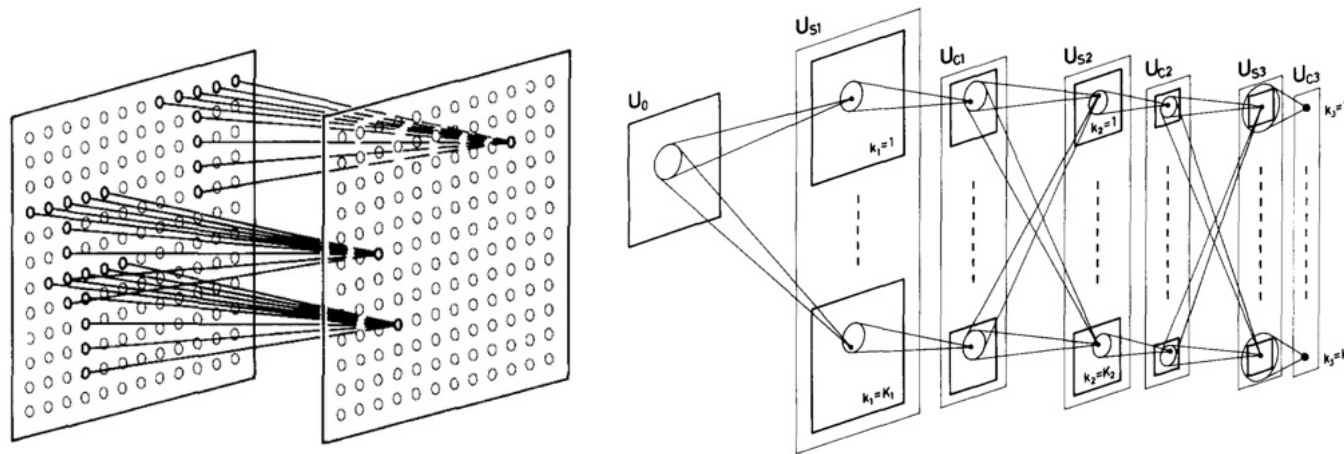


Experiments of Hubel and Wiesel that established the structure of the visual cortex



1959

Neocognitron



Neocognitron, an early geometric neural network

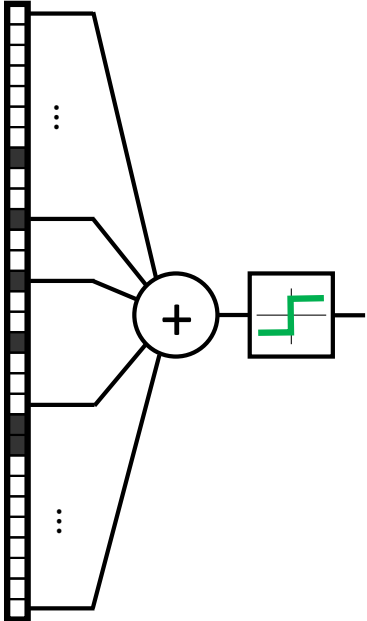


K. Fukushima

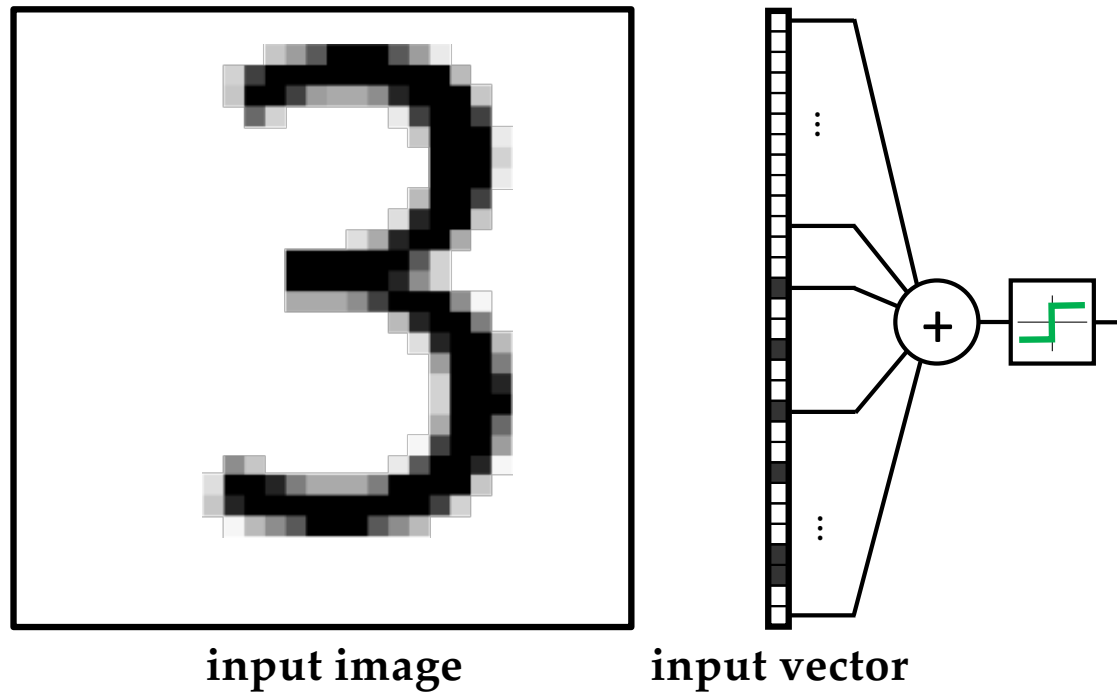
1980



input image

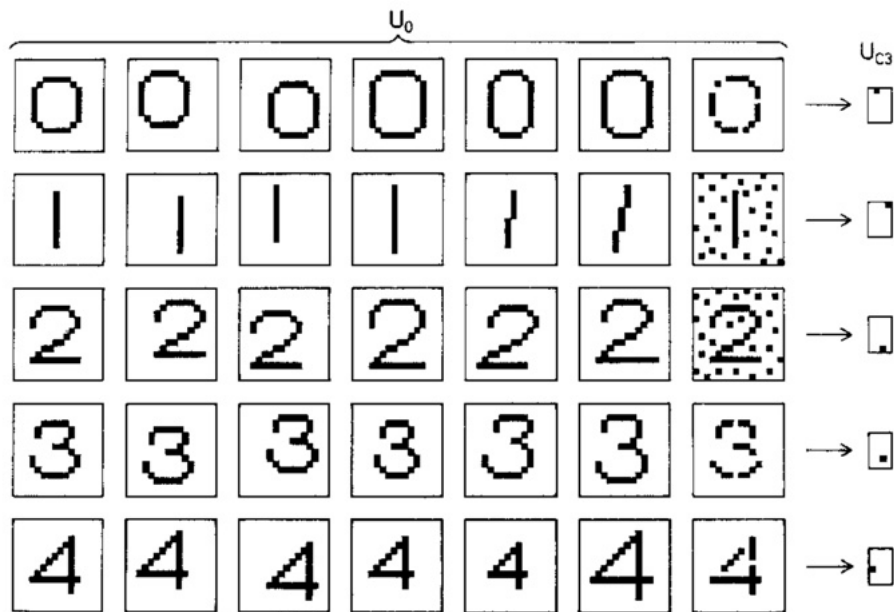


input vector



“The response of [Perceptrons] was severely affected by the shift in position [...] of the input patterns. Hence, their ability for pattern recognition was not so high.” — Fukushima

Neocognitron



Experimental evaluation of the Neocognitron



K. Fukushima

1980

Neocognitron

- Deep neural network (7 layers tested)
- Local connectivity (“receptive fields”)
- Nonlinear filters with shared weights (S-layers)
- Average pooling (C-layers)
- ReLU activation function
- “Self-organised” (unsupervised) – **no backprop yet!**



K. Fukushima

1980

How to train your neural network?



F. Rosenblatt

Perceptron
learning rule
(1 layer)



A. Ivakhnenko

Group method of
data handling



S. Linnainmaa



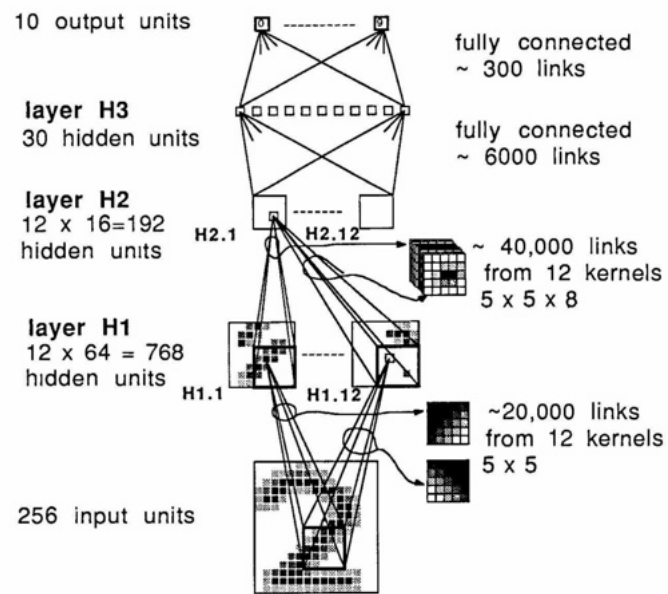
P. Werbos

Backpropagation



D. Rumelhart

Convolutional neural networks



First version of a CNN

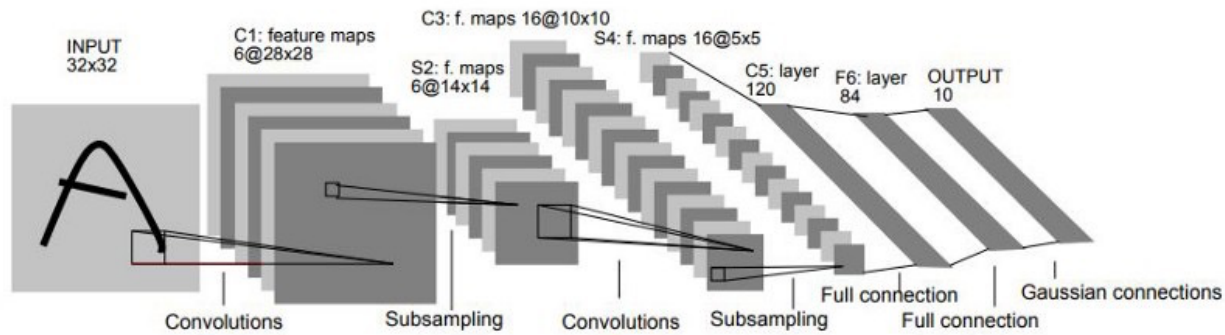


AT&T DSP-32C
capable of 125m floating
point multiply-accumulate
operations/sec



Y. LeCun

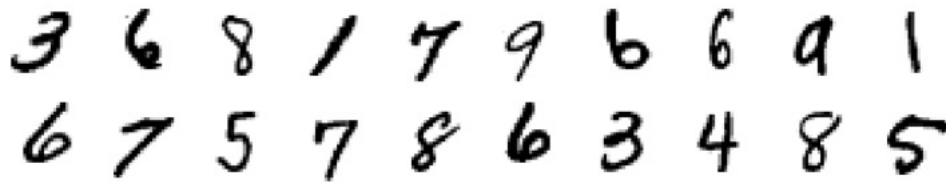
LeNet-5



LeNet-5 classical CNN architecture

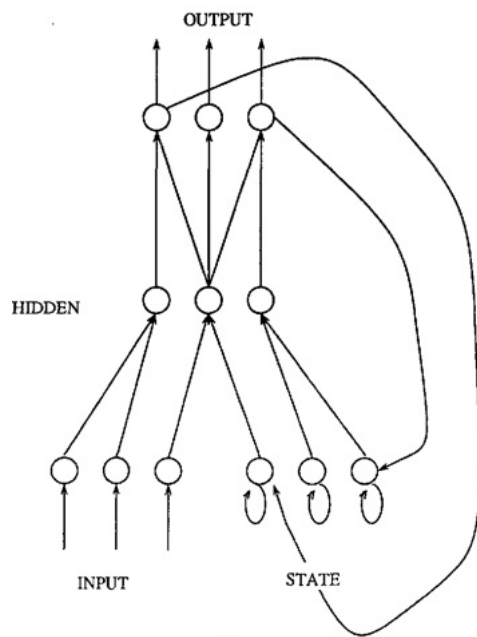


Y. LeCun

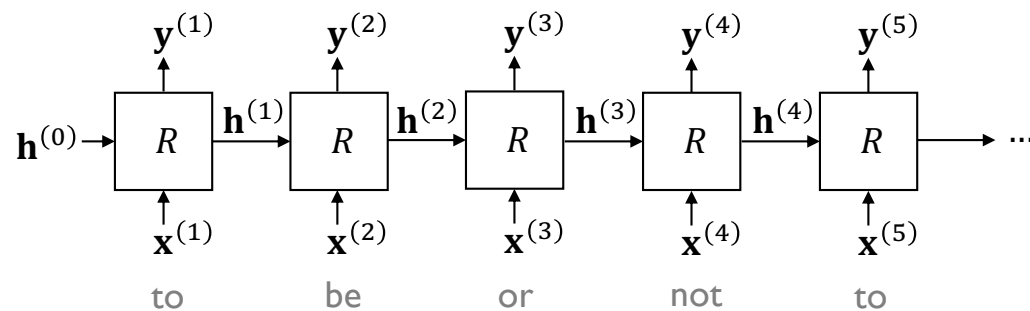


MNIST digits dataset

Recurrent Neural Networks



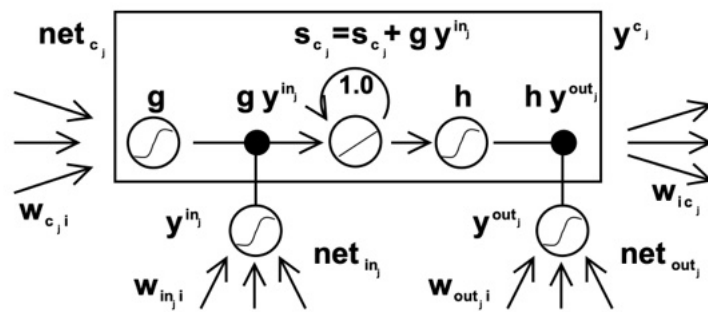
Simple RNN architecture used by Michael Jordan



Unfolded RNN and the Vanishing Gradient problem

McCulloch, Pitts 1943 ("circular paths"); Minsky 1967 ("networks with cycles"); Rumelhart et al. 1985 (generalisation of gradient-based learning in "recurrent nets")
Jordan 1986; Elman 1990

Long Short Term Memory (LSTM)



S. Hochreiter



J. Schmidhuber

Time warping

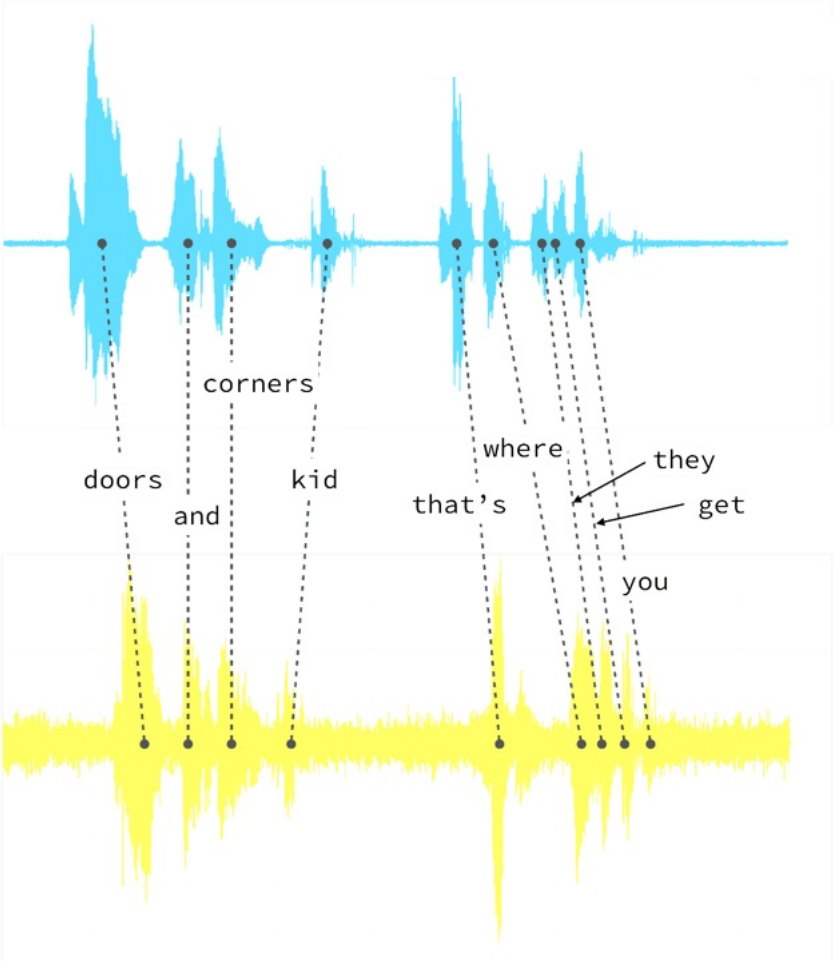
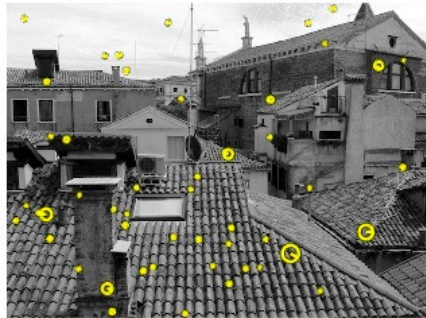
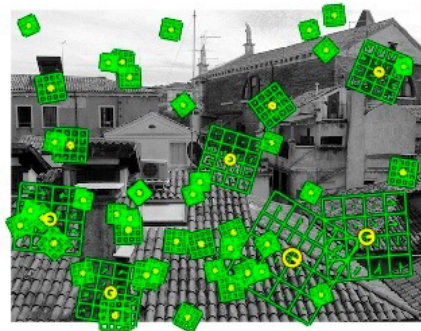


Image: Portilla, Heintz

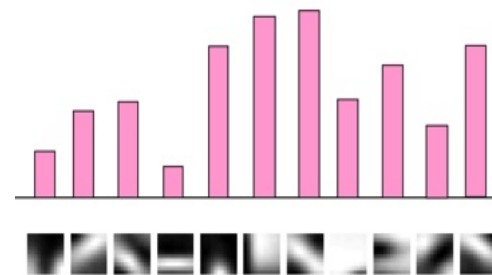
Computer vision in the 2000s



Feature detection



Feature description



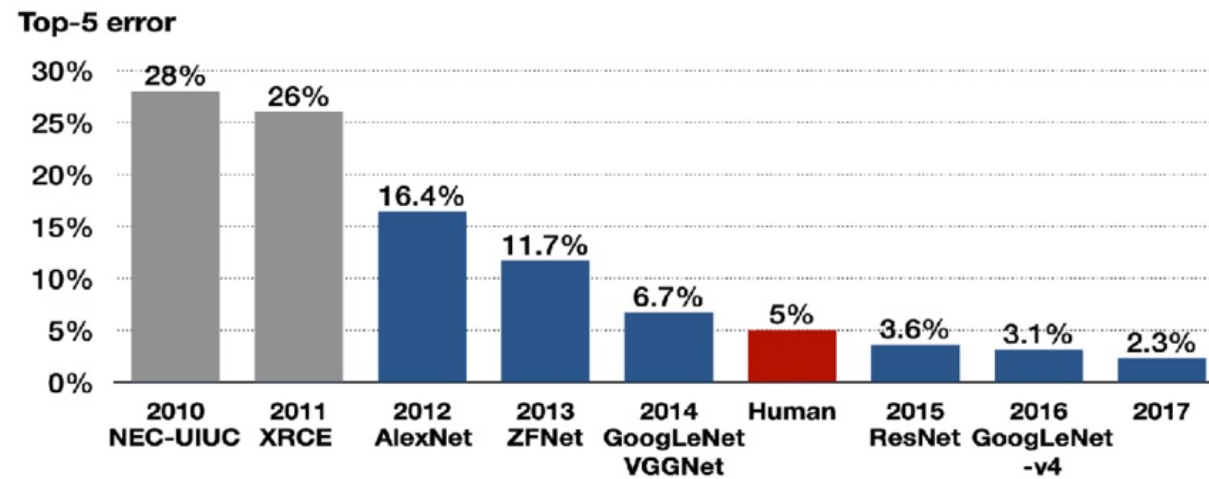
Feature aggregation



Classification

A typical image classification pipeline from the 2000s

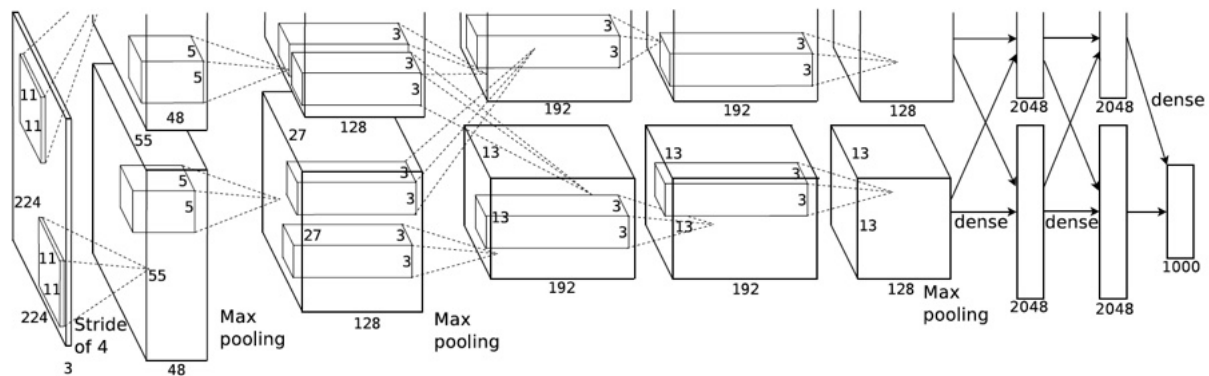
ImageNet



L. Fei-Fei

AlexNet beating all “handcrafted” approaches on ImageNet benchmark—the moment of truth for computer vision

AlexNet

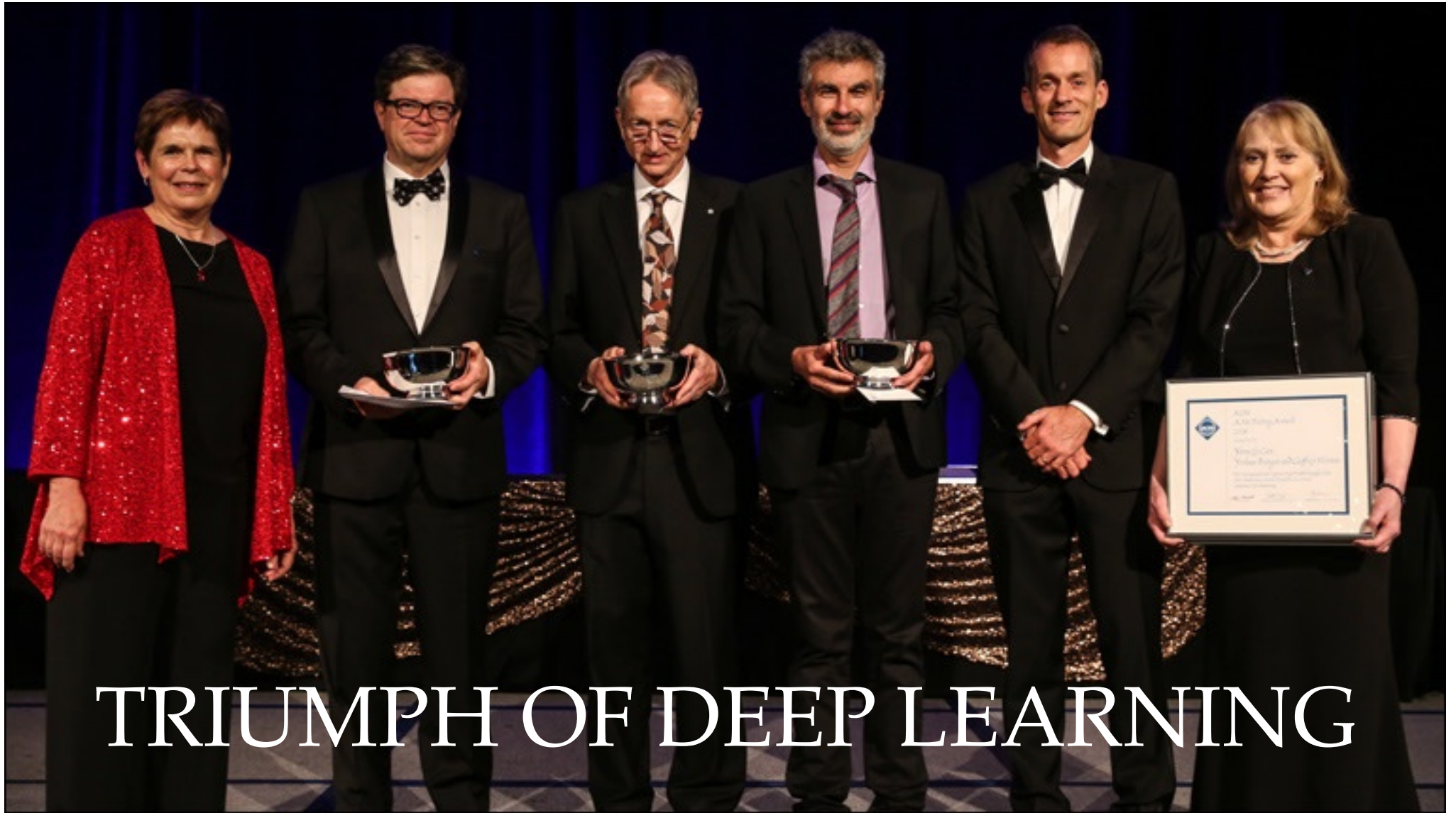


AlexNet architecture

Nvidia GTX 580 GPU capable of
~200G FLOP/sec



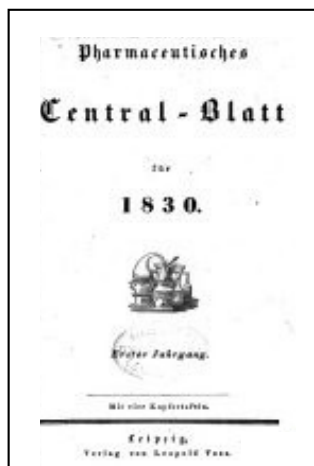
A. Krizhevsky



TRIUMPH OF DEEP LEARNING

GRAPH NEURAL NETWORKS &
THEIR CHEMICAL PRECURSORS

Early chemoinformatics



First chemical abstracts journal
Chemisches Zentralblatt 1830–1969



Beilstein Handbuch
~500 volumes, 500k pages



Chemical Abstracts Service
as of today ~200m compounds

Early chemoinformatics

DAY		QUARTER				REQ. CLOSED	SUB-ACCT.		FUND	BUDGET	DEPT.	CLASS	DEBIT		CREDIT	
12	1	2	3	4	5	6	8	9								
NO.	10	X	1	2	4	X	30									
10	0	0	0	0	0	0	0	0	0	0	0	0	0	0	0	0
1	1	1	1	1	1	1	1	1	1	1	1	1	1	1	1	1
2	2	2	2	2	2	2	2	2	2	2	2	2	2	2	2	2
3	3	3	3	3	3	3	3	3	3	3	3	3	3	3	3	3
4	4	4	4	4	4	4	4	4	4	4	4	4	4	4	4	4
5	5	5	5	5	5	5	5	5	5	5	5	5	5	5	5	5
6	6	6	6	6	6	6	6	6	6	6	6	6	6	6	6	6
7	7	7	7	7	7	7	7	7	7	7	7	7	7	7	7	7
8	8	8	8	8	8	8	8	8	8	8	8	8	8	8	8	8
9	9	9	9	9	9	9	9	9	9	9	9	9	9	9	9	9
	1	2	3	4	5	6	7	8	9	10	11	12	13	14	15	16
	17	18	19	20	21	22	23	24	25	26	27	28	29	30	31	32
	33	34	35	36	37	38	39	40	41	42	43	44	45	46	47	48

UNIVERSITY OF MINNESOTA - COMPTROLLER FORM 21

504718

HOLLERITH TABULATING CARD

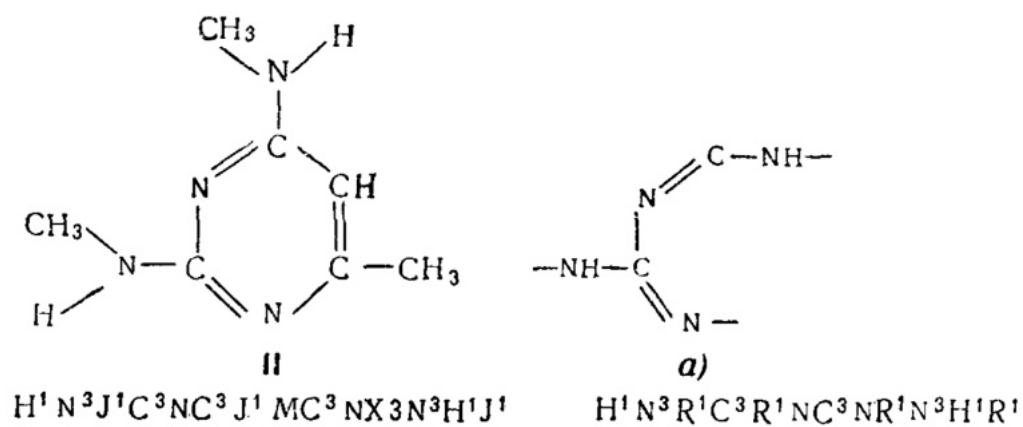
Date—April 27, 1927
 Quarter—Third
 Type—40 Invoice
 Reference—Invoice No. 13624

Requisition No. 20792 (Open)
 Sub-Acct.—None
 Fund—01 Support Fund
 Budget—276 Bacteriology Supplies

Department—2302 Medical School—Bacteriology
 Classification—2502 Chemicals
 Amount—Debit \$17.45

Punch card for early computer

Structural similarity of molecules



Early “chemical ciphers” used for molecule representations fail to capture structural similarity



G. Vlăduț

1959

Graph theory & Chemistry

CHEMISTRY AND ALGEBRA

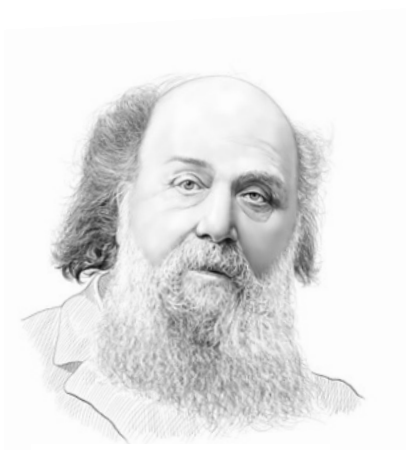
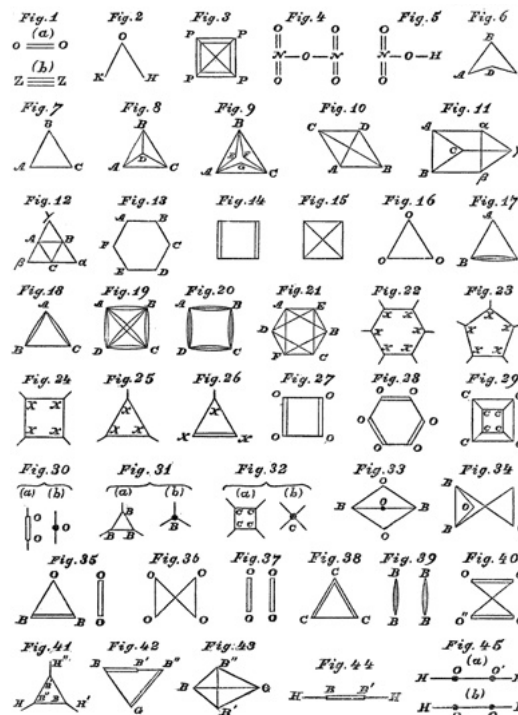
IT may not be wholly without interest to some of the readers of NATURE to be made acquainted with an analogy that has recently forcibly impressed me between branches of human knowledge apparently so dissimilar as modern chemistry and modern algebra.

The weight of an invariant is identical with the number of the bonds in the chemicograph of the analogous chemical substance, and the weight of the leading term (or basic differentiant) of a co-variant is the same as the number of bonds in the chemicograph of the analogous compound radical. Every invariant and covariant thus becomes expressible by a *graph* precisely identical with a Kekuléan diagram or chemicograph.

Baltimore, January 1

J. J. SYLVESTER

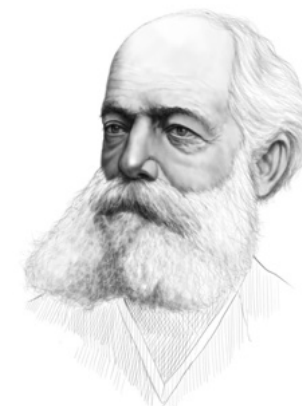
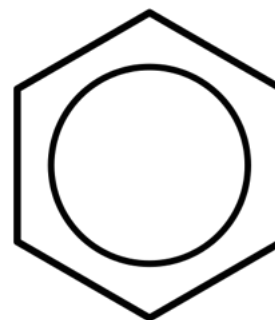
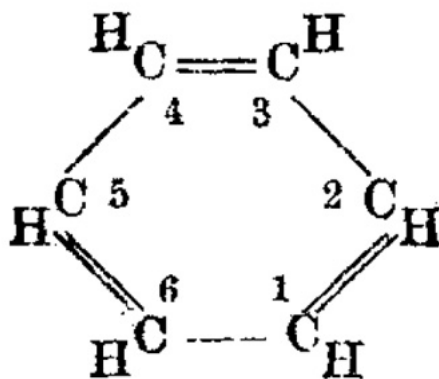
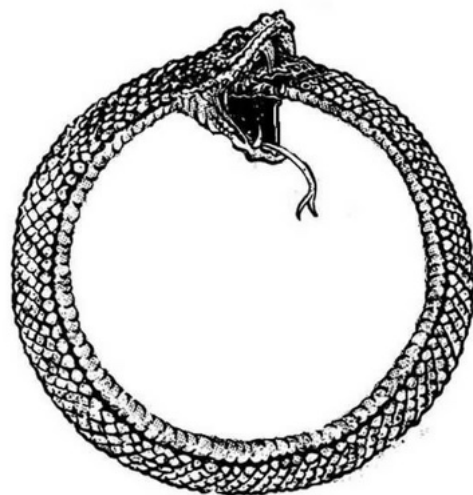
The term "graph" appeared first in the chemical context



J. Sylvester

1878

Graph theory & Chemistry



A. Kekulé

Weisfeiler-Lehman test

УДК 519.1

ПРИВЕДЕНИЕ ГРАФА К КАНОНИЧЕСКОМУ ВИДУ И ВОЗНИКАЮЩАЯ ПРИ ЭТОМ АЛГЕБРА

В. Ю. ВЕЙСФЕЛЕР, А. А. ЛЕХМАН

Рассматривается алгоритм приведения заданного конечного мультиграфа Γ и каноническому виду. В процессе такого приведения возникает новый инвариант графа — алгебра $\mathfrak{A}(\Gamma)$. Изучены свойства алгебры $\mathfrak{A}(\Gamma)$ она является полезным при решении некоторых задач теории графов.

Выдвигаются и обосновываются некоторые предположения относительно связи между свойствами алгебры $\mathfrak{A}(\Gamma)$ и группой автоморфизмов графа Γ . Построены пример неориентированного графа Γ , алгебра $\mathfrak{A}(\Gamma)$ которого совпадает с групповой алгеброй некоторой некоммутативной группы.

An algorithm is considered, reducing the specified finite multigraph Γ to canonical form. In the course of this reduction, a new invariant of the graph is generated — algebra $\mathfrak{A}(\Gamma)$. Study of the properties of the algebra $\mathfrak{A}(\Gamma)$ proves helpful in solving a number of graph-theoretic problems. Some propositions concerning the relationships between the properties of the algebra $\mathfrak{A}(\Gamma)$ and the graph's automorphism group $Aut(\Gamma)$ are discussed. An example of non-oriented graph Γ is constructed whose algebra $\mathfrak{A}(\Gamma)$ coincides with the group algebra of a non-commutative group.

1. Рассмотрим произвольный конечный граф Γ и его матрицу смежности $A(\Gamma) = (a_{ij})$; здесь a_{ij} — число ребер, ведущих из i -й вершины графа в j -ую; $i, j = 1, 2, \dots, n$. В случае неориентированного графа полагаем $a_{ij} = a_{ji}$. Каноническим порядком нумерации вершин, т. е. при таком частном упорядочении множества вершин, при котором из того, что i и j несмежны следует, что существует автоморфизм графа, переводящий вершину i в j и сохраняющий отношение смежности.

В п. 6, 7 описан процесс приведения графа к каноническому виду, состоящий из повторного переупорядочения строк и столбцов матрицы $A(\Gamma)$, который, грубо говоря, сводится к следующему.

Рассмотрим для простоты неориентированный граф без кратных ребер. Сначала каждой вершине графа сопоставим характеристический вектор, единственным компонентом которого равно числу соседней другой вершины. Затем разобьем вершины на классы, так чтобы вершины с одинаковым характеристическим вектором принадлежали одному классу; классы при этом упорядочим в соответствии с естественным порядком в множестве характеристических векторов. Далее, каждой i -й вершине сопоставим характеристический вектор $v_i = (v_{i1}, v_{i2}, \dots, v_{in})$, где v_{ij} — число соседей i -го класса у j -ой вершины, $i = \overline{1, m}$ — номер класса, к которому принадлежит i -я вершина. Теперь снова разобьем вершины на классы в соответствии с новыми характеристическими векторами, упорядочим их лексикографически, и т. д. Заметим, что если вершины i и j на некотором шаге принадлежат разным классам и было выполнено условие $v_{i1} = v_{j1}$, то в дальнейшем это условие всегда будет выполняться. Отсюда следует, что описанный процесс образует не только, чем ходит и шаг — и либо все вершины относятся к разным классам (т. е. построена каноническая нумерация), либо дальнейшего разбиения на классы не происходит.

В случае, если Γ — ориентированный мультиграф, возьмем в качестве характеристического вектора v_i упорядоченную i -ую строку матрицы $A(\Gamma)$ (считая при этом, что диагональный элемент принадлежит всем остальным). Вместо различных векторов v_i увидим различные независимые переменные x_{ij} , ..., упорядочим их в соответствии с порядком среди v_i . Получим такую же матрицу обозначим $X = X(\Gamma)$. При очередном разбиении вершин на классы к одному классу, как и прежде, относим вершины с одинаковыми характеристическими векторами; при этом A -ая компонента вектора v_i есть по определению сумма элементов i -ой строки матрицы смежности $A(\Gamma)$ принадлежащих i -го класса (причем X — матрица $X(\Gamma)$, соответствующая данному i -го классу). Матрица $X(\Gamma)$ разбивается, таким образом, на блоки, в каждом из которых свои независимые переменные и т. д. (точнее определены эти операции см. п. 6, операции см. 6).

Заметим, что описанный до сих пор процесс является аналогичным методом, изложенным в [1] и [2].

2. Для дальнейшего разбиения вершин на классы рассмотрим элемент a_{ij} матрицы $U = X \cdot X'$, где X' — матрица, полученная из X заменой переменных x_1, x_2, \dots, x_m переменными x_1, x_2, \dots , причем все переменные $x_1, x_2, \dots, x_m, \dots, x_2, \dots$ независимы. Элемент a_{ij} является многочленом второй степени от $x_1, x_2, \dots, x_1, x_2, \dots$. Если теперь обозначить различные многочлены различными новыми независимыми переменными, то к матрице матрицы снова можно будет применить все описанные выше операции и т. д., но тем пор, пока и этот процесс не оборвется (см. п. 6, операции см. 6).

3. Геометрически выделение независимых переменных и матрицы $U = X \cdot X'$ означает следующее. Если марку с ребрами данного графа Γ рассмотреть ребра сопоставляемого графа Γ' , то на первом же шаге какой процедуры этим ребрам будут соответствовать различные ребра перемешанные — т. е. пронумерованные ребра данного Γ и сопоставляемого графа в равные цвета. В дальнейшем каждое новое выделение дополнительных переменных выведет новую раскраску ребер, причем 1) ребра, соединяемые на каком-то шаге по равному, и в дальнейшем также будут окрашены по-прежнему; 2) разбиение вершин на классы производится в соответствии с количеством ребер каждого цвета, исходящих из вершины.

Известно, далее, что элемент $a_{ij}(A)$, $A = A(\Gamma)$, где Γ — неориентированный граф без кратных ребер, равен числу путей длины 2, ведущих из i -й вершины в j -ую. Аналогично, коэффициент при x_{ij}^2 в многочлене $a_{ij}(U = X \cdot X')$ равен числу путей, ведущих из i -й вершины в j -ую по ребрам сигнала A , в длину 3го цвета.

3). Дальнейшая процедура приведения графа к каноническому виду заключается в применении описанной операции и матрицы, полученной из $X(\Gamma)$ вычеркиванием некоторого ее столбца и соответствующей строки. Если для матрицы порядка $n \times n-1$ приведенная к каноническому виду определена, то возникает новая возможность для разбиения вершин на классы старой матрицы за вершины, старые вычеркиваемой из оставшегося графа (см. операции см. 6, п. 7). Следовательно, что и такое разбиение на некоторый шаг оборвется. Доказано, что любые две вершины i и j , относящиеся к одному классу при разбиении разбиения, эквивалентны, т. е. существует автоморфизм графа Γ , переводящий i в j и сохраняющий отношение смежности.

Рассмотрим снова такую матрицу $X = X(\Gamma)$, что в матрице $U = X \cdot X'$ на месте диагональных элементов матрицы X стоят одинаковые многочлены. Матрица $X(\Gamma)$ является тогда общей точкой некоторой матричной алгебры $\mathfrak{A}(\Gamma)$, т. е. если взаимно взаимно X (например, взаимно взаимно X или даже взаимно взаимно X), то матрица матрицы, полученные заменой x вместо ее переменных элементов матрицы X образует алгебру $\mathfrak{A}(\Gamma) = \mathfrak{A}(X)$. Алгебра $\mathfrak{A}(\Gamma)$ является, очевидно, инвариантом графа. Некоторые соотношения между



A. Lehman



B. Weisfeiler

1968

Weisfeiler, Lehman 1968; Portraits: Ihor Gorskiy

First Graph Neural Networks



A. Sperduti

Labeling RAAM

1994



C. Goller

Backprop through structure

1996



A. Küchler



M. Gori

“Graph Neural Networks”

2005, 2008



F. Scarselli

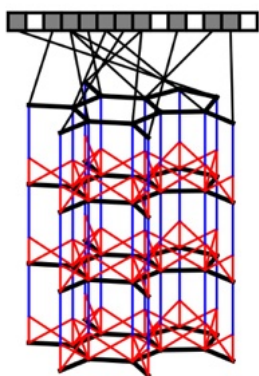


A. Micheli

“NN4G”

2009

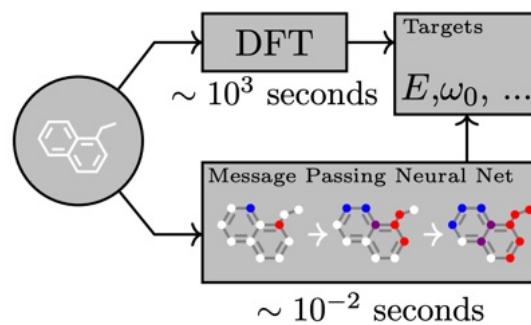
Back to the chemical roots



GNN-based
molecular fingerprints



D. Duvenaud

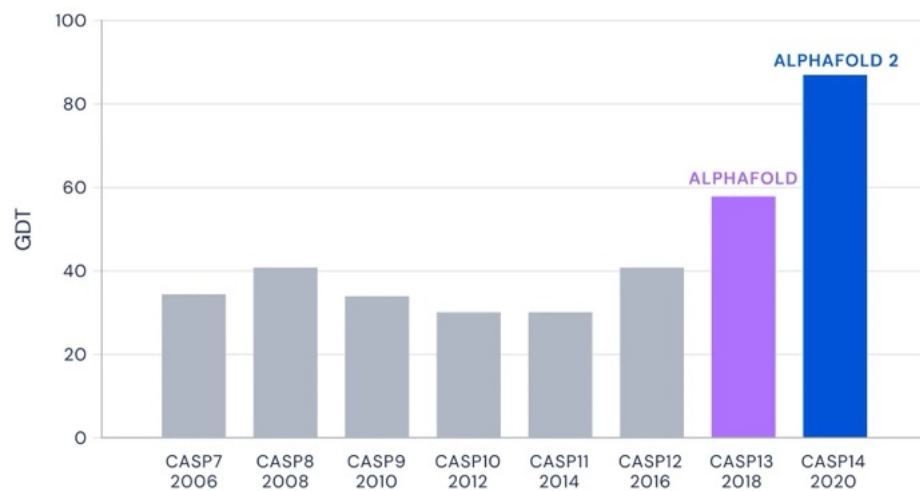


Chemical property prediction
using message passing GNNs



J. Gilmer

Back to the chemical roots



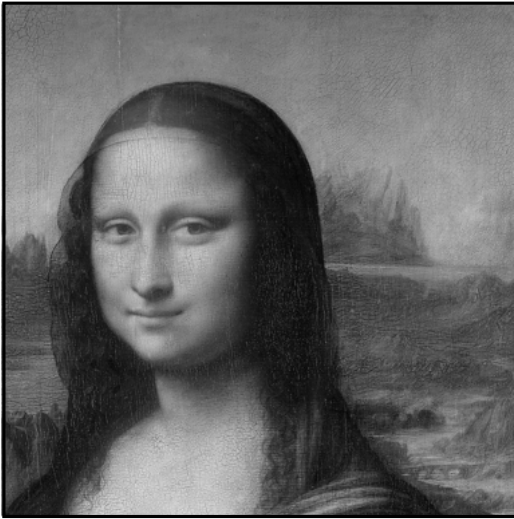
An “ImageNet” moment of structural biology



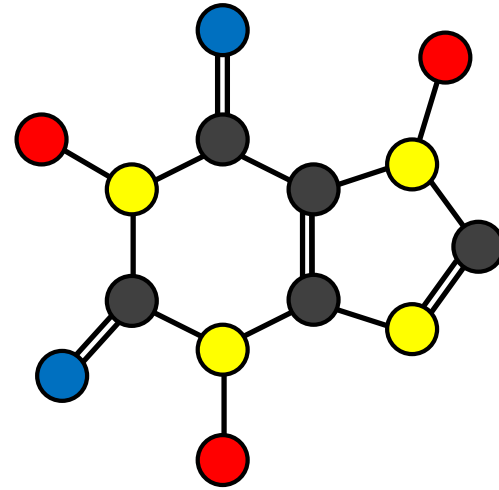


THE BLUEPRINT

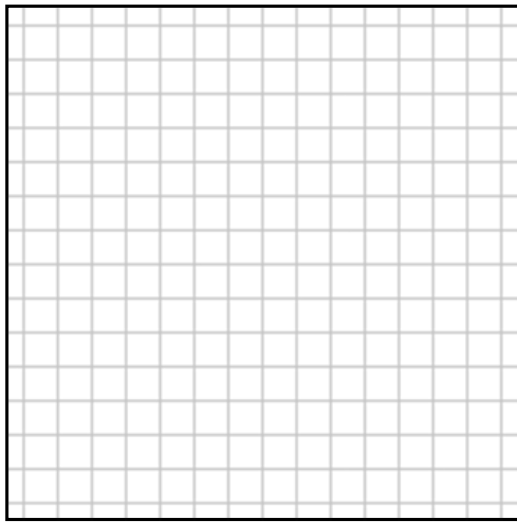
Convolutional Neural Network



Graph Neural Network

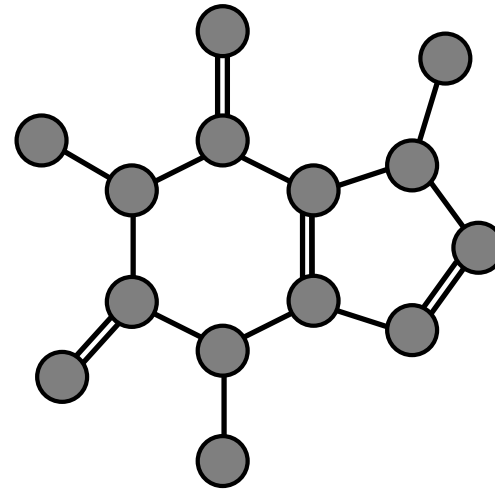


Convolutional Neural Network



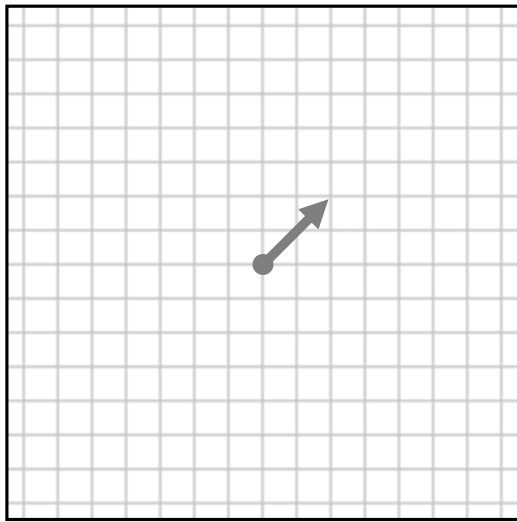
Underlying domain:
grid

Graph Neural Network



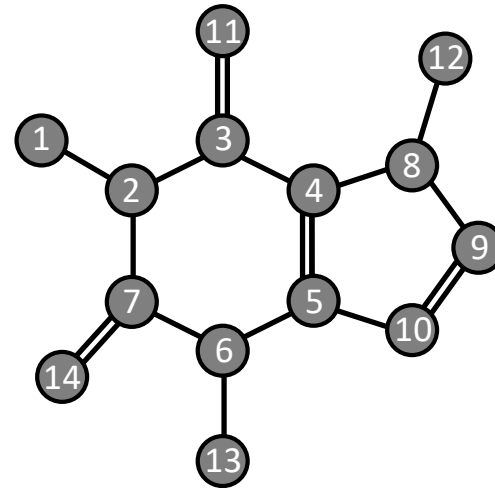
Underlying domain:
graph

Convolutional Neural Network



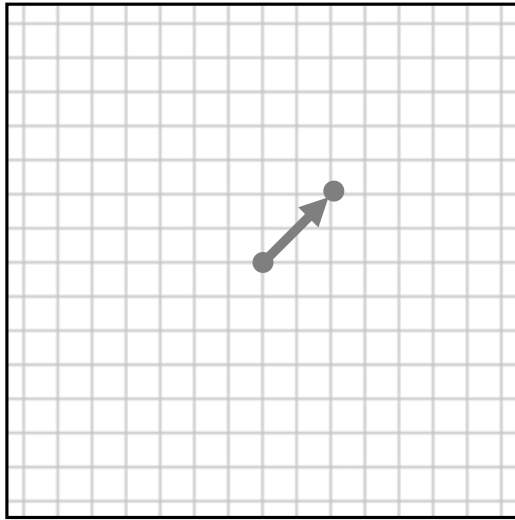
Symmetry:
Translation

Graph Neural Network



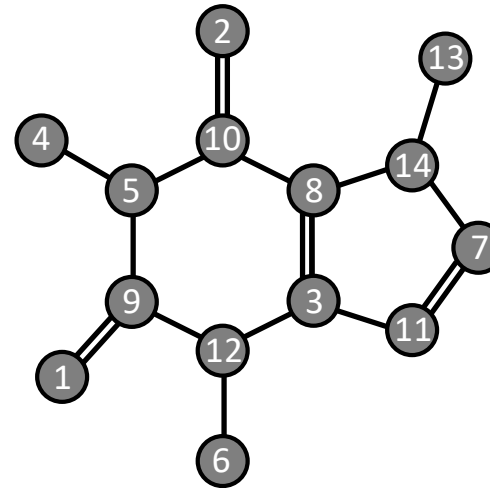
Symmetry:
Permutation

Convolutional Neural Network



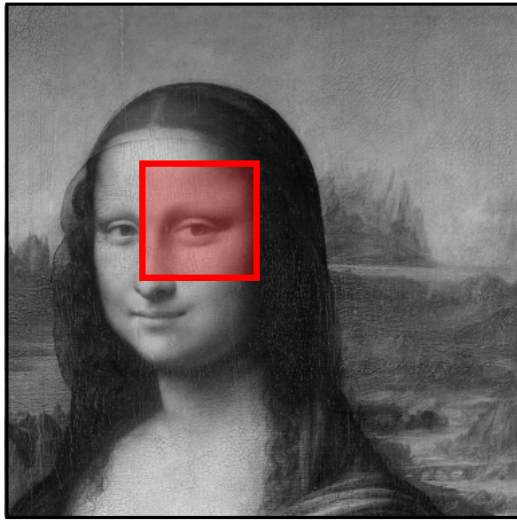
Symmetry:
Translation

Graph Neural Network



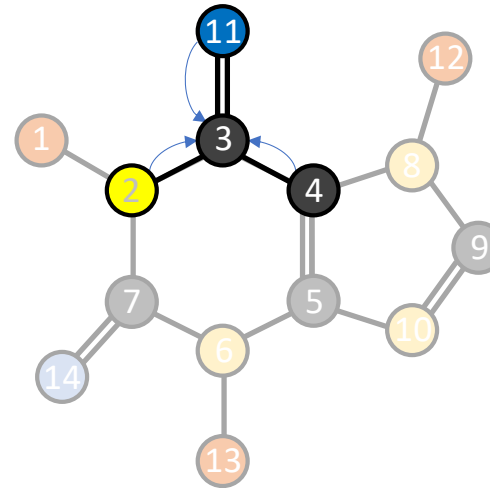
Symmetry:
Permutation

Convolutional Neural Network



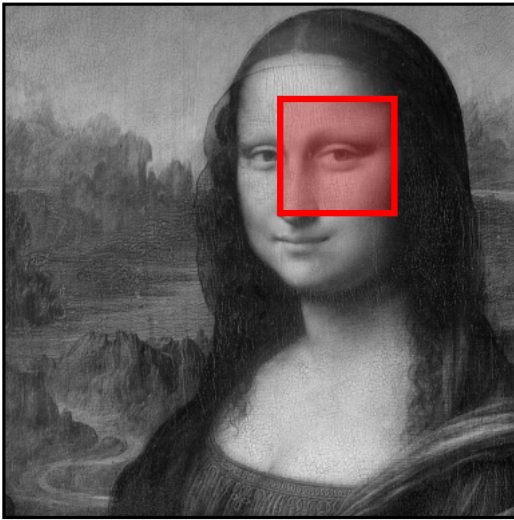
Convolution:
translation equivariant

Graph Neural Network



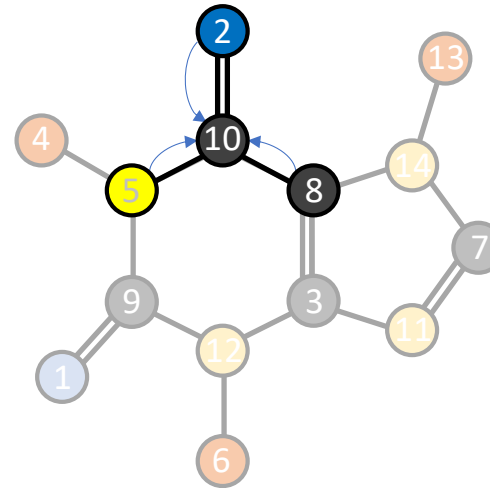
Message passing:
permutation equivariant

Convolutional Neural Network



Convolution:
translation equivariant

Graph Neural Network



Message passing:
permutation equivariant

Michael M. Bronstein, Joan Bruna, Yann LeCun,
Arthur Szlam, and Pierre Vandergheynst

Many scientific fields study data with an underlying structure that is non-Euclidean. Some examples include social networks in computational social sciences, sensor networks in communications, functional networks in brain imaging, regulatory networks in genetics, and meshed surfaces in computer graphics. In many applications, such geometric data are large and complex (in the case of social networks, on the scale of billions) and are natural targets for machine-learning techniques. In particular, we would like to use deep neural networks, which have recently proven to be powerful tools for a broad range of problems from computer vision, natural-language processing, and audio analysis. However, these tools have been most successful on data with an underlying Euclidean or grid-like structure and in cases where the invariances of these structures are built into networks used to model them.

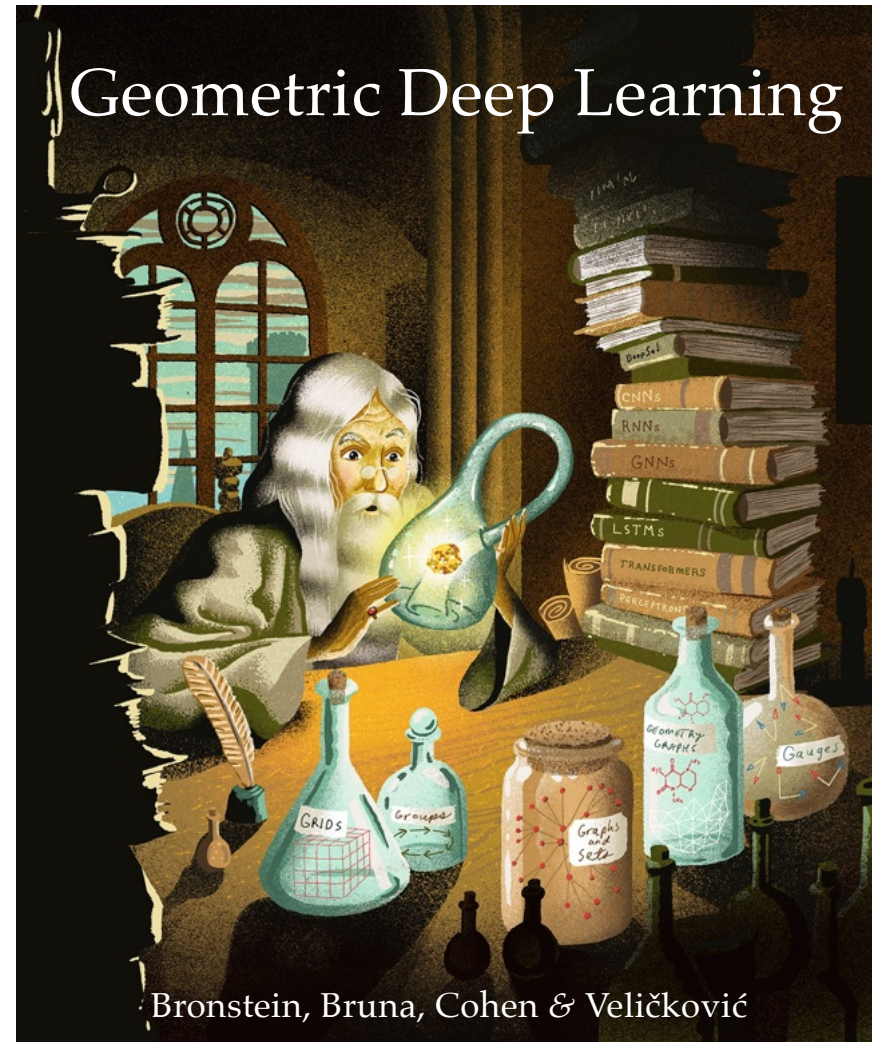
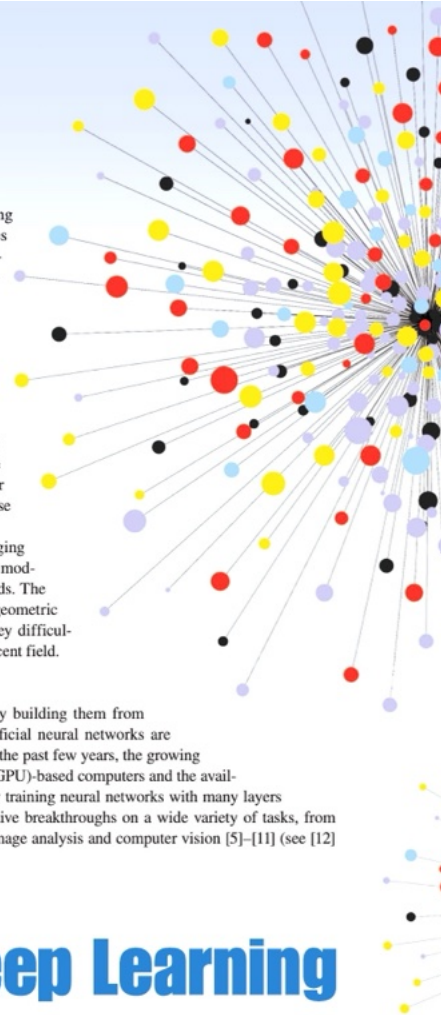
Geometric deep learning is an umbrella term for emerging techniques attempting to generalize (structured) deep neural models to non-Euclidean domains, such as graphs and manifolds. The purpose of this article is to overview different examples of geometric deep-learning problems and present available solutions, key difficulties, applications, and future research directions in this nascent field.

Overview of deep learning

Deep learning refers to learning complicated concepts by building them from simpler ones in a hierarchical or multilayer manner. Artificial neural networks are popular realizations of such deep multilayer hierarchies. In the past few years, the growing computational power of modern graphics processing unit (GPU)-based computers and the availability of large training data sets have allowed successfully training neural networks with many layers and degrees of freedom (DoF) [1]. This has led to qualitative breakthroughs on a wide variety of tasks, from speech recognition [2], [3] and machine translation [4] to image analysis and computer vision [5]–[11] (see [12]

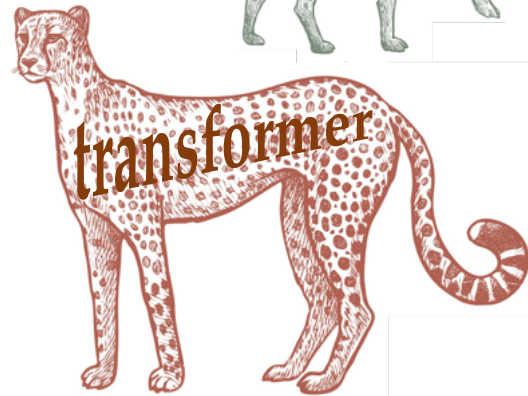
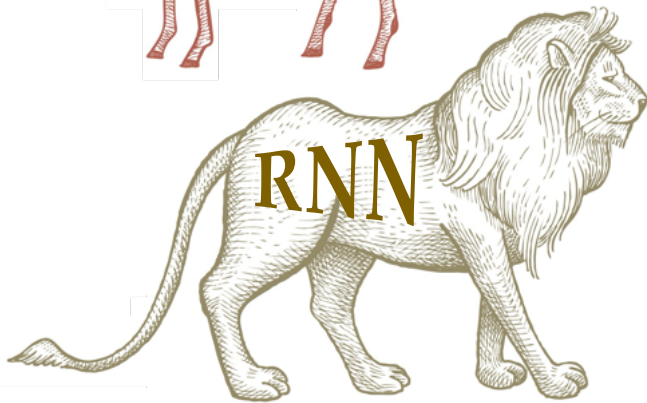
Geometric Deep Learning

Going beyond Euclidean data



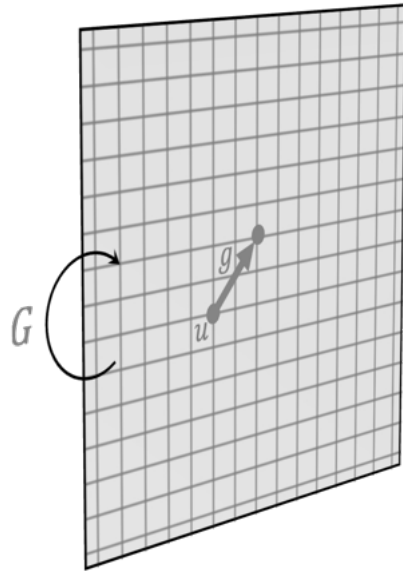
Bronstein, Bruna, Cohen & Veličković

The Erlangen Programme of ML
Geometric Deep Learning



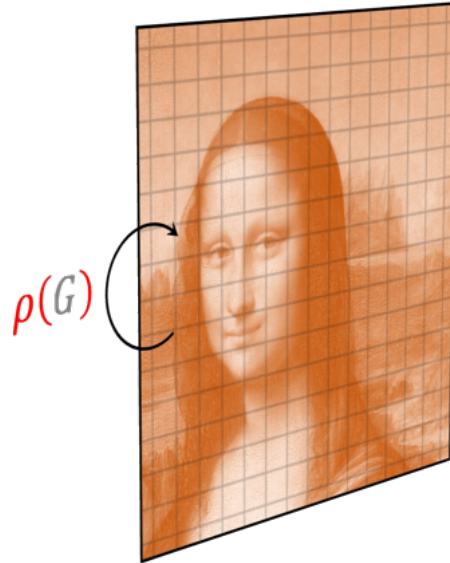
Geometric Deep Learning Blueprint

domain Ω



symmetry group G

signals $\mathcal{X}(\Omega)$



group representation $\rho(G)$

$$\rho(g)x(u) = x(g^{-1}u)$$

functions $\mathcal{F}(\mathcal{X}(\Omega))$



equivariance

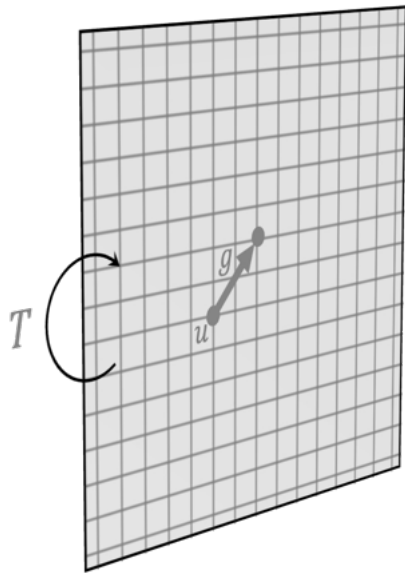
$$f(\rho(g)x) = \rho(g)f(x)$$

invariance

$$f(\rho(g)x) = f(x)$$

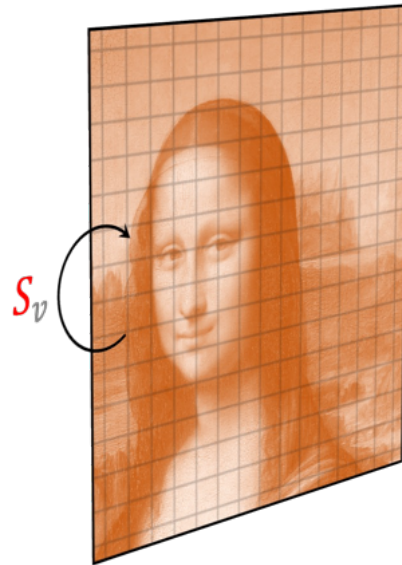
Example: Convolutional Neural Networks

Plane \mathbb{R}^2



Translation group $T(2)$

images $\mathcal{X}(\mathbb{R}^2)$



Shift operator S

$$S_v x(u) = x(u - v)$$

functions $\mathcal{F}(\mathcal{X}(\Omega))$

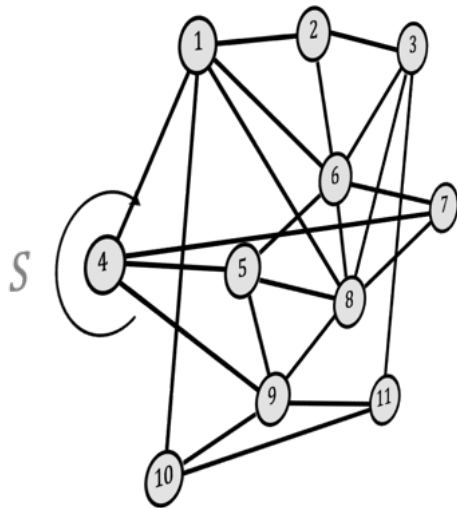


Convolutional layer

$$(Sx \star y) = S(x \star y)$$

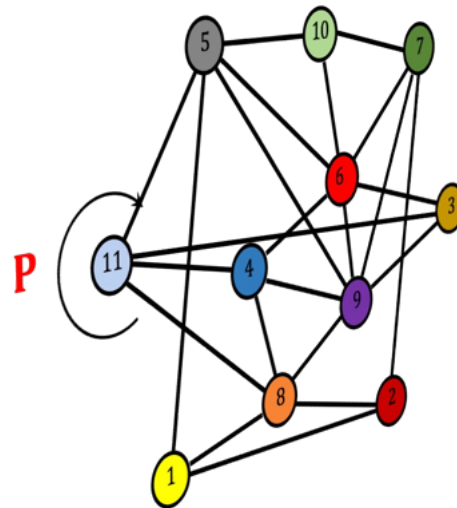
Example: Graph Neural Networks

Graph $G = (V, E)$



Permutation group S_n

Node features $\mathcal{X}(G)$



Permutation matrix \mathbf{P}

$$\mathbf{P}\mathbf{X} = (x_{\pi^{-1}(i),j})$$

functions $\mathcal{F}(\mathcal{X}(\Omega))$

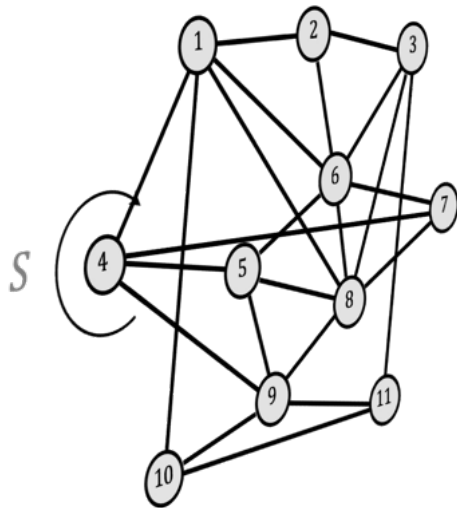


Message passing

$$\mathbf{F}(\mathbf{P}\mathbf{X}, \mathbf{P}\mathbf{A}\mathbf{P}^T) = \mathbf{P}\mathbf{F}(\mathbf{X}, \mathbf{A})$$

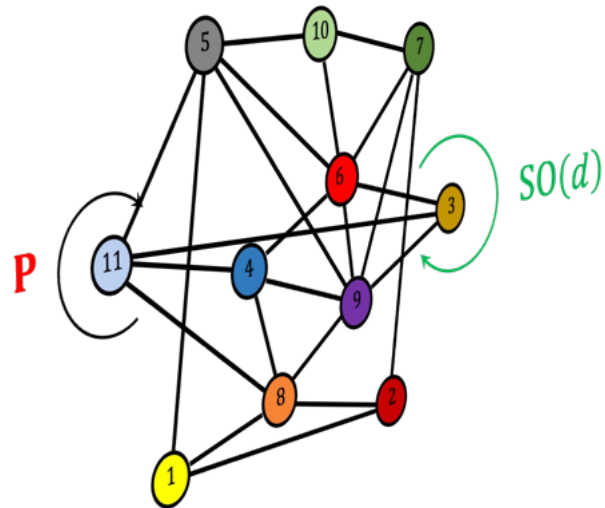
Example: Equivariant Graph Neural Networks

Graph $G = (V, E)$



Permutation group S_n

Node features $\mathcal{X}(G)$



Permutation matrix \mathbf{P}

Rotation \mathbf{R}

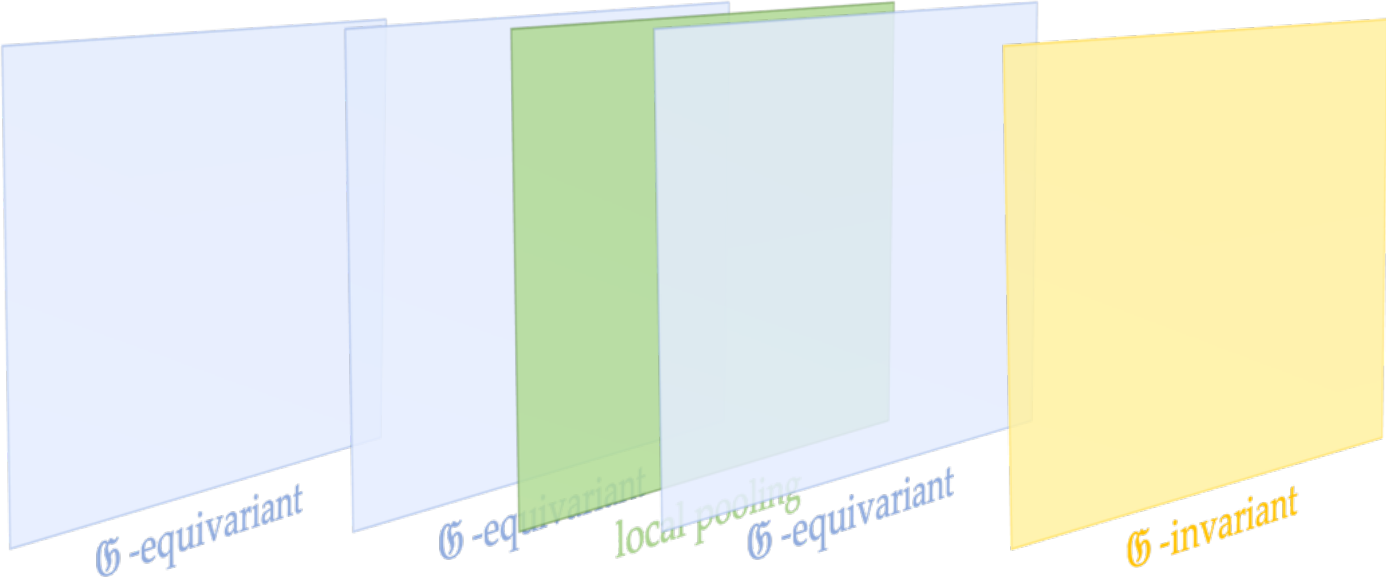
functions $\mathcal{F}(\mathcal{X}(\Omega))$



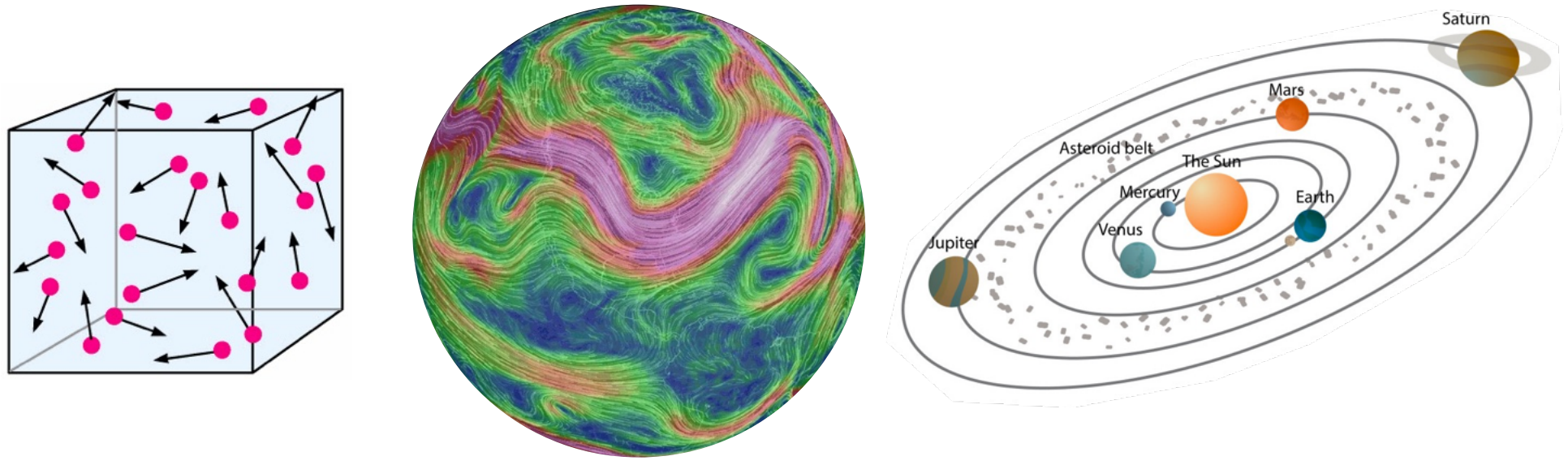
Equivariant message passing

$$\mathbf{F}(\mathbf{P}\mathbf{X}\mathbf{R}, \mathbf{P}\mathbf{A}\mathbf{P}^\top) = \mathbf{P}\mathbf{F}(\mathbf{X}, \mathbf{A})\mathbf{R}$$

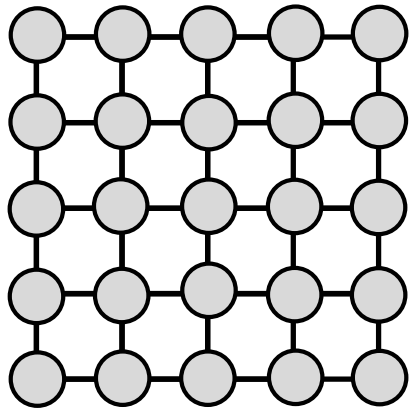
Geometric Deep Learning Blueprint



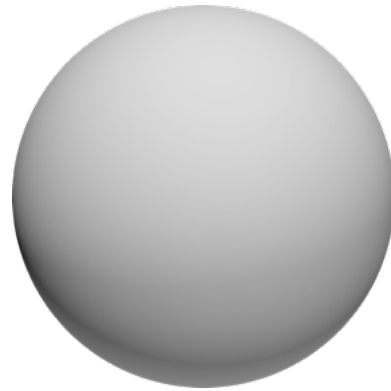
Scale Separation in Physics



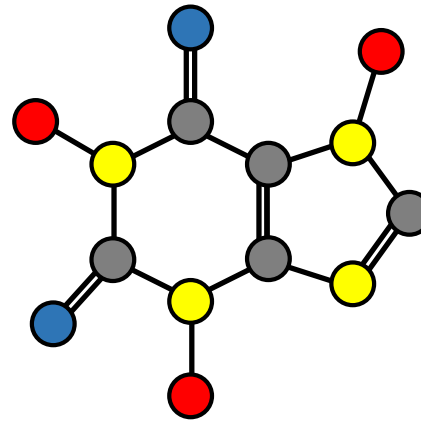
The “5G” of Geometric Deep Learning



Grids



Groups

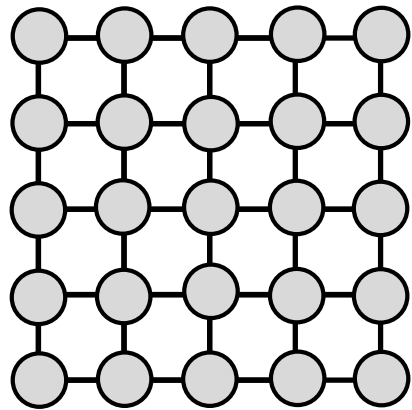


Graphs

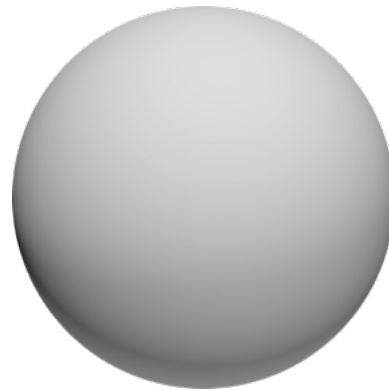


**Geometric Graphs
& Gauges**

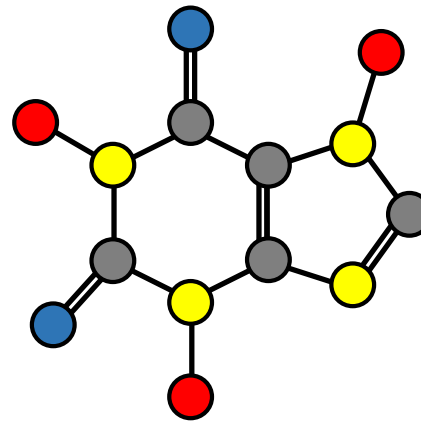
The “5G” of Geometric Deep Learning



**Images &
Sequences**



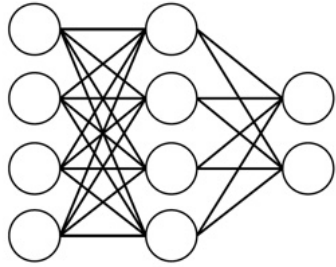
**Homogeneous
spaces**



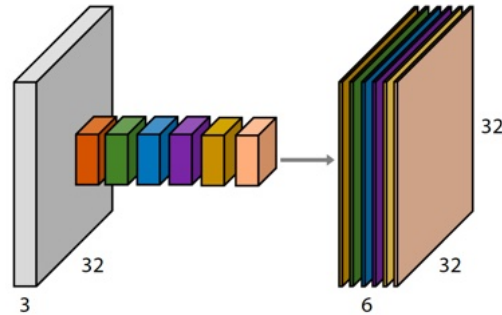
Graphs & Sets



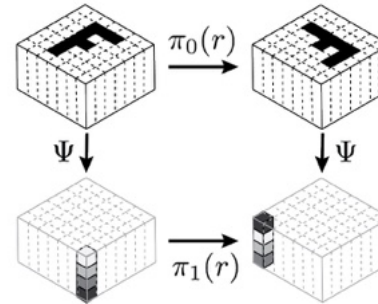
**Manifolds, Meshes &
Geometric graphs**



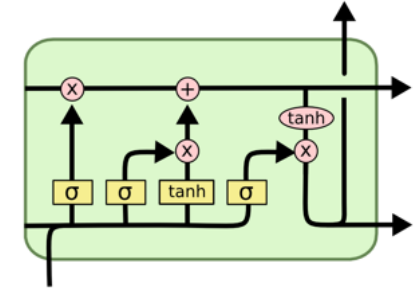
Perceptrons
Function regularity



CNNs
Translation



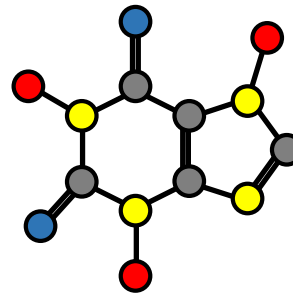
Group-CNNs
Translation+Rotation,
Global groups



LSTMs
Time warping



DeepSets / Transformers
Permutation



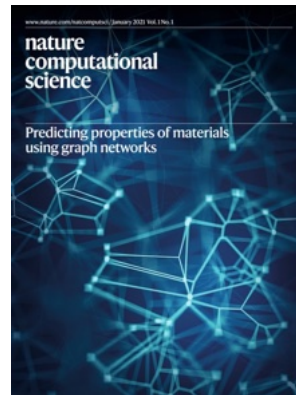
GNNs
Permutation



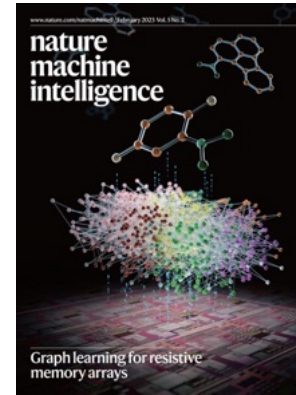
Intrinsic CNNs
Isometry / Gauge choice



Physics



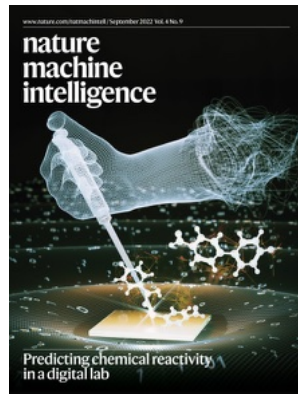
Materials



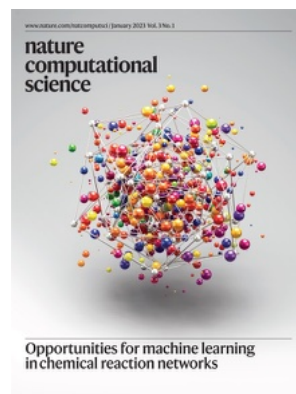
Chip design



Biology



Chemistry



Urban planning



Pure math



Weather

Generate: Biomedicines
A Flagship Pioneering Company

VANTAI

 Isomorphic
Laboratories

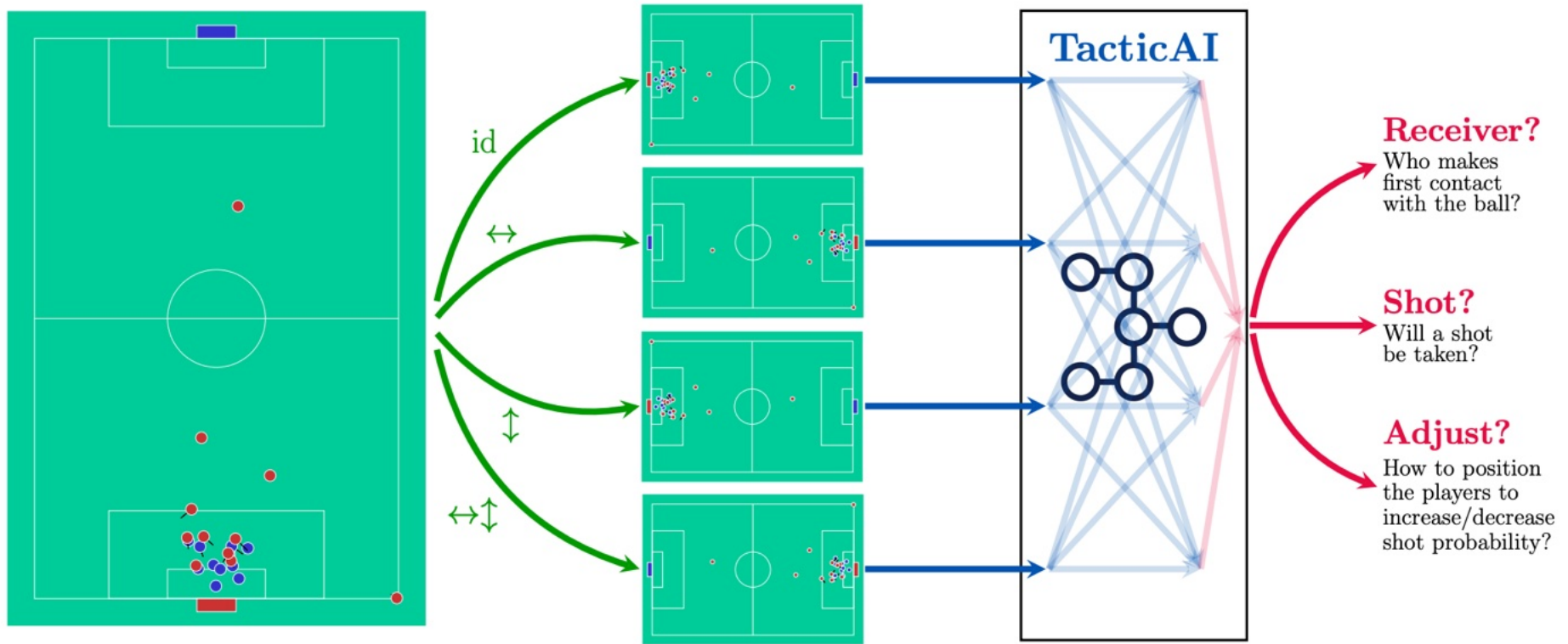
 Recursion

Genentech

 Monte Rosa
THERAPEUTICS

 CHARM
THERAPEUTICS

 **dreamfold**



Main References

- M. Bronstein et al., [Geometric deep learning](#), *arXiv:2104.13478*, 2021. Section 7 “Historic perspective”
- M. Bronstein, [Towards geometric deep learning](#), *The Gradient*, 2022. Historical overview of the field following this lecture